

# Лекция 4. Методы получения наночастиц

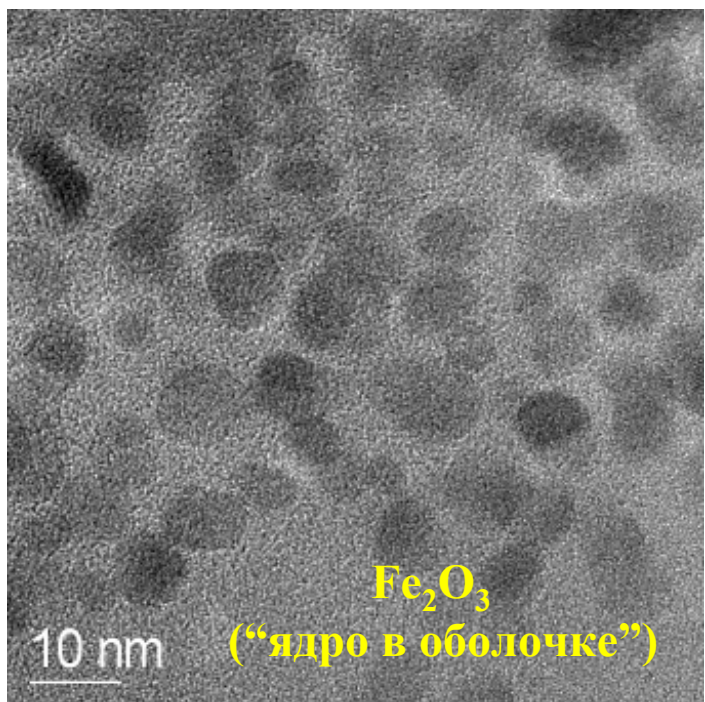
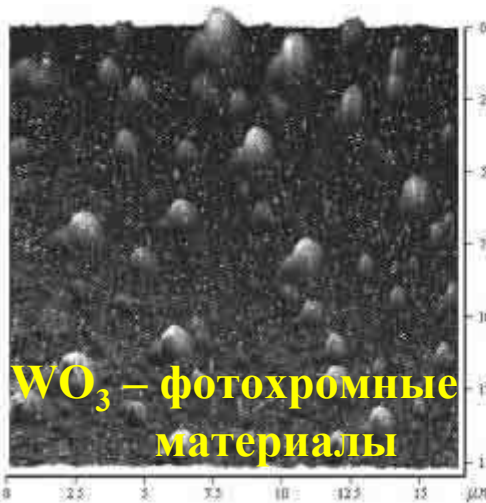
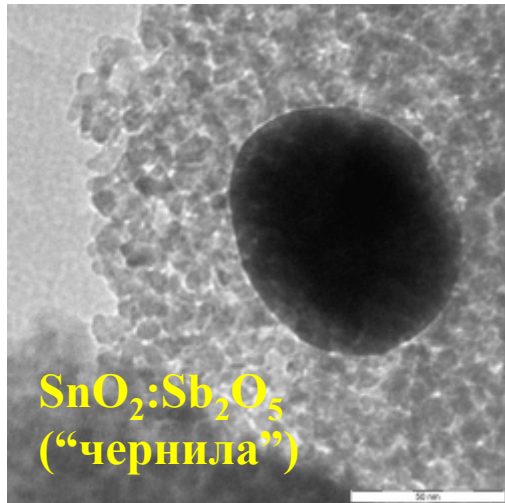
Факультет наук о материалах,  
химический факультет МГУ  
им.М.В.Ломоносова

Научно-образовательный  
центр  
по нанотехнологиям МГУ

Вариант предложен  
Е.А.Гудилиным (МГУ)

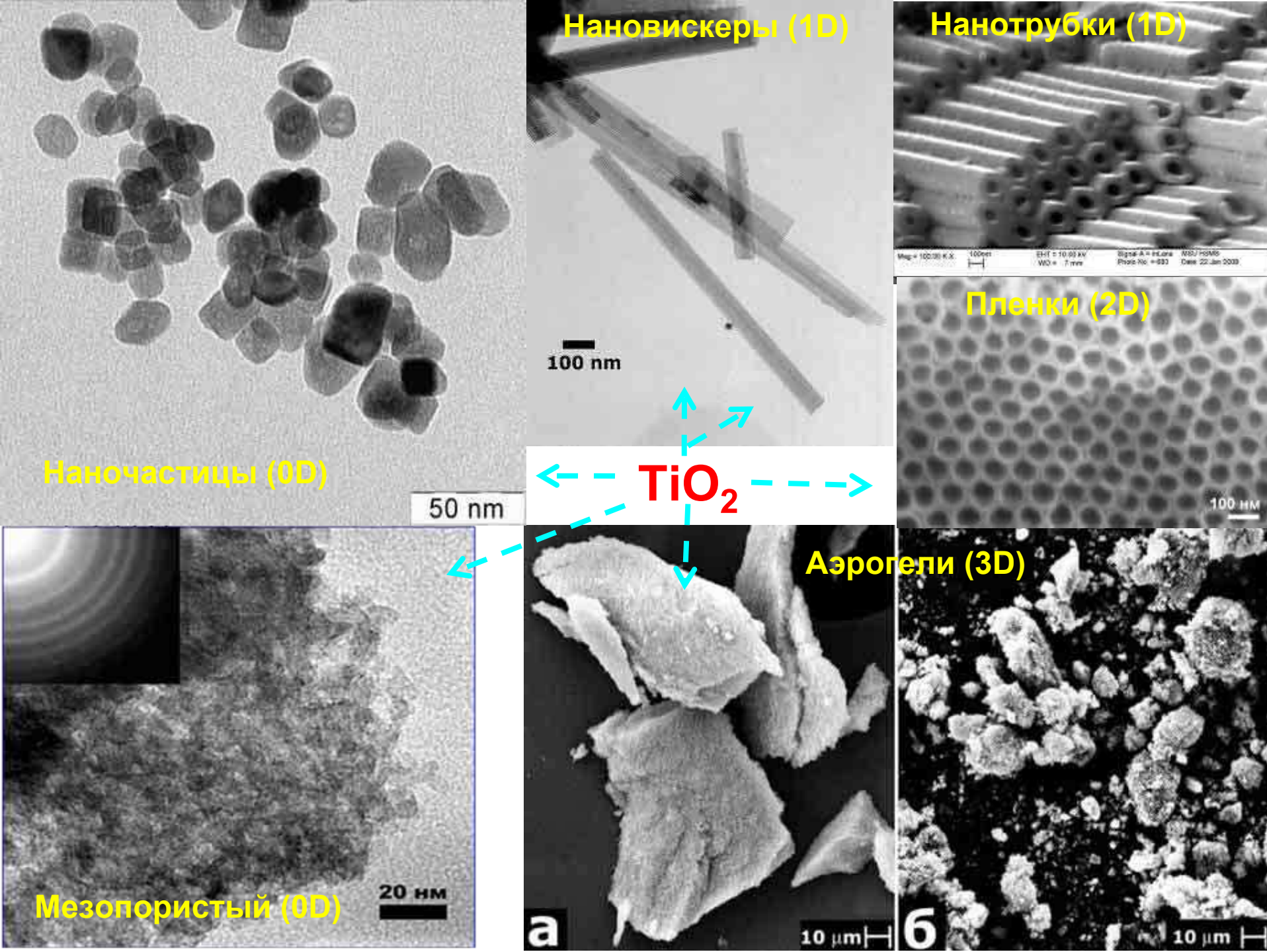


# Наночастицы



$\text{CdSe}$   
("квантовые  
точки")

$\text{Fe}_2\text{O}_3$  - ДНК  
("маркеры",  
«транспорт»)



# **«Сверху» или «снизу»?..**

Процесс формирования наноструктур по принципу **«сверху-вниз»** предусматривает обработку макромасштабного объекта или структуры и постепенное уменьшение их размеров, вплоть до получения изделий с нанометровыми параметрами...

**Технология «снизу-вверх» заключается в том, что при создании наноструктур набирают и выстраивают отдельные атомы и молекулы в упорядоченную структуру...**

*(группа ОНЭКСИМ)*

# Основные методы синтеза ультрадисперсных материалов

- Пиролиз (сажа, фуллерены, УНТ),  
механо-, электро-,  
криодиспергирование,
  - Методы химической гомогенизации  
(молекулярное смешение), золь-гель  
(трехмерные структуры)
  - Получение наночастиц в  
конденсированных средах
  - Литография
  - ...

# Помол и диспергирование

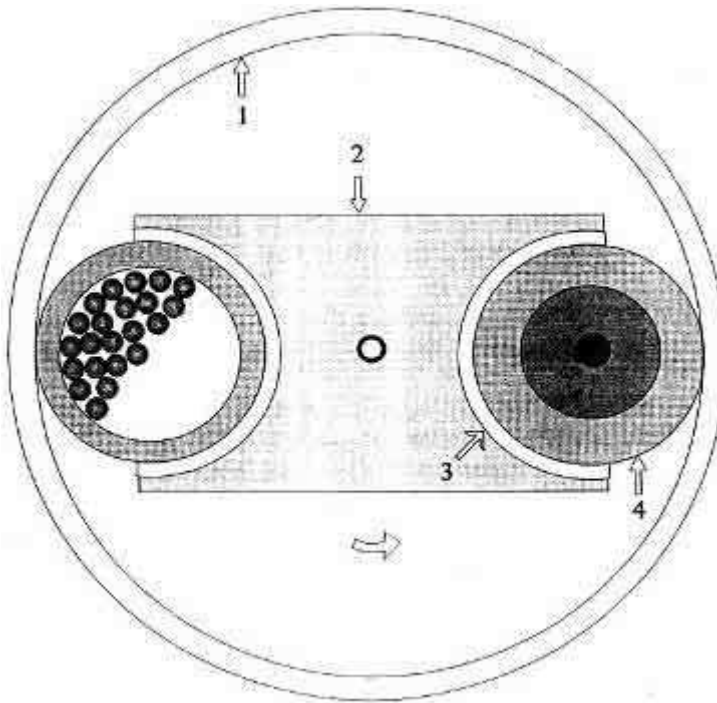
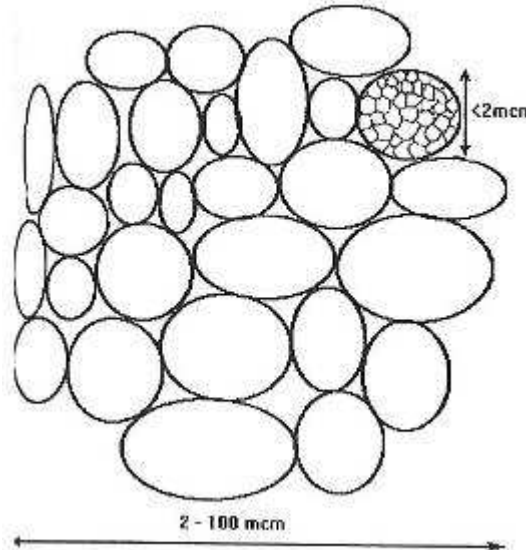


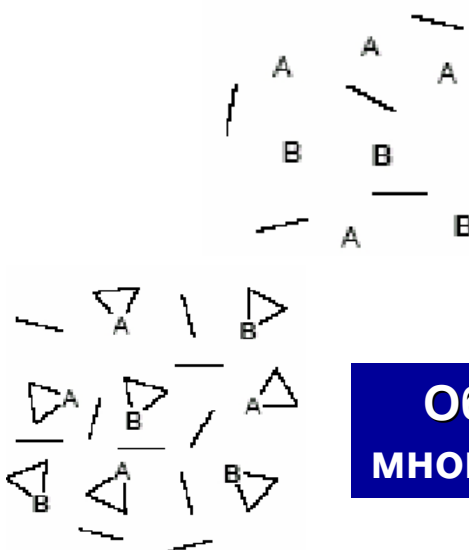
Схема мельницы  
планетарного типа



Структура агрегатов субмикронных частиц  
после помола: деагрегация + активация =  
агрегация

Перемешивание + истирающие / сдвиговые + ударные +  
(термические) + (электрические) воздействия + ...  
(загрязнения материалом барабана)

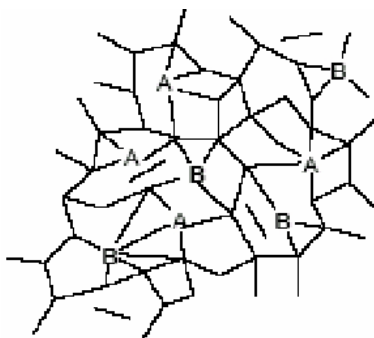
# Золь-гель метод



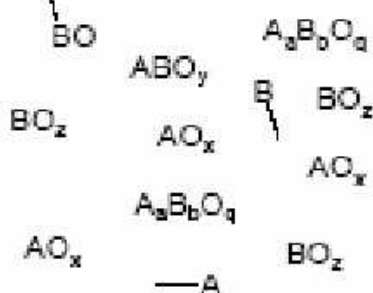
Раствор солей металлов

Образование хелатных комплексов металлов с многофункциональными органическими кислотами

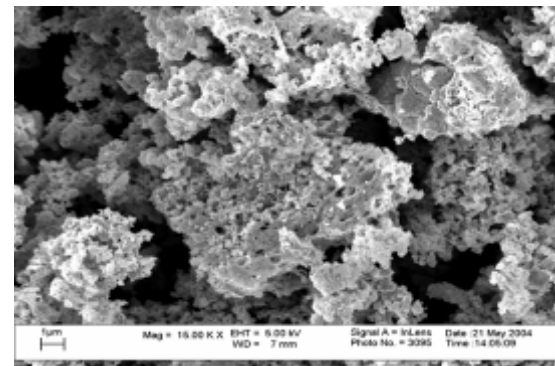
Реакция полимеризации с многоатомными спиртами



Термическое разложение



Получение материалов



# «Полимеризация» в водном растворе. Ксерогели оксидов ванадия

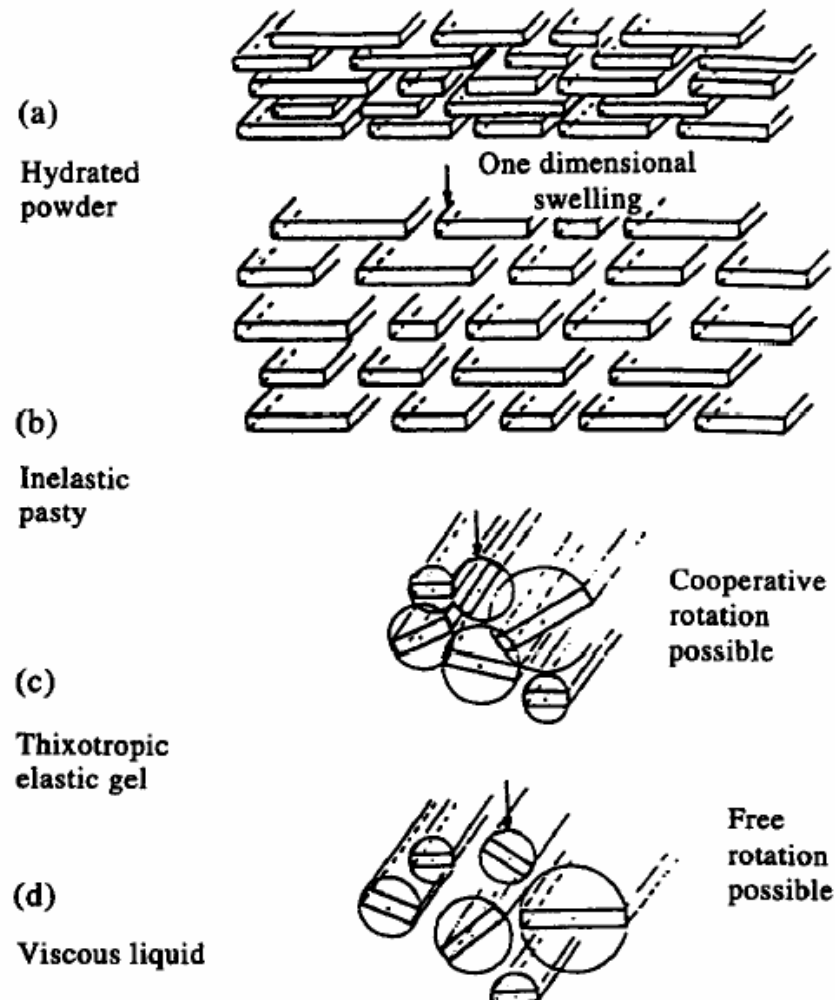
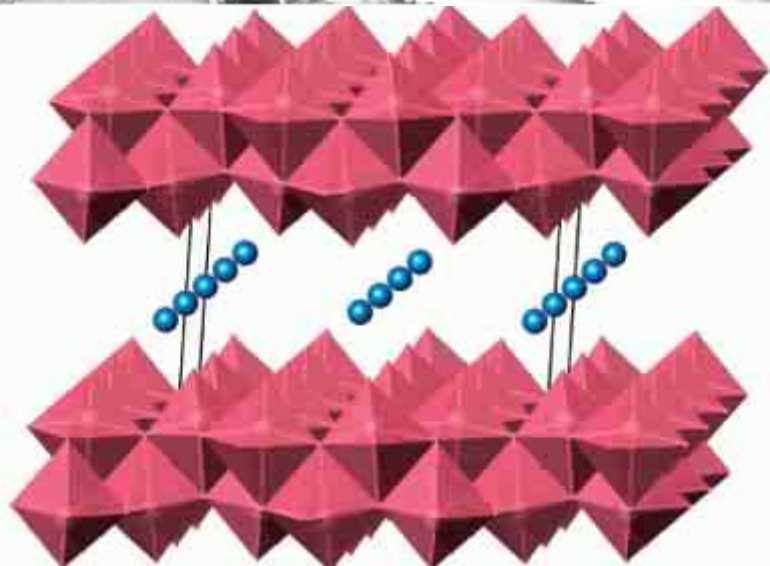
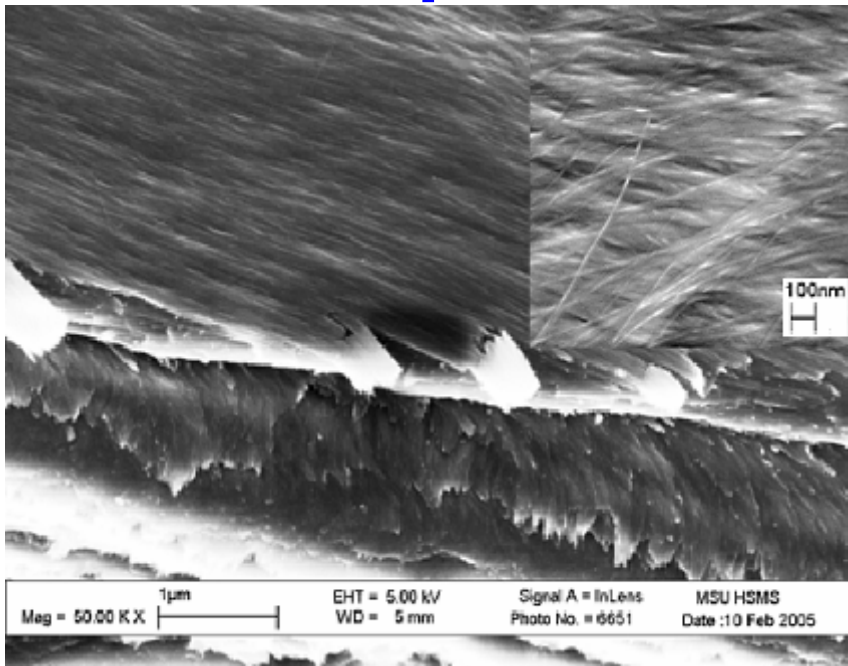
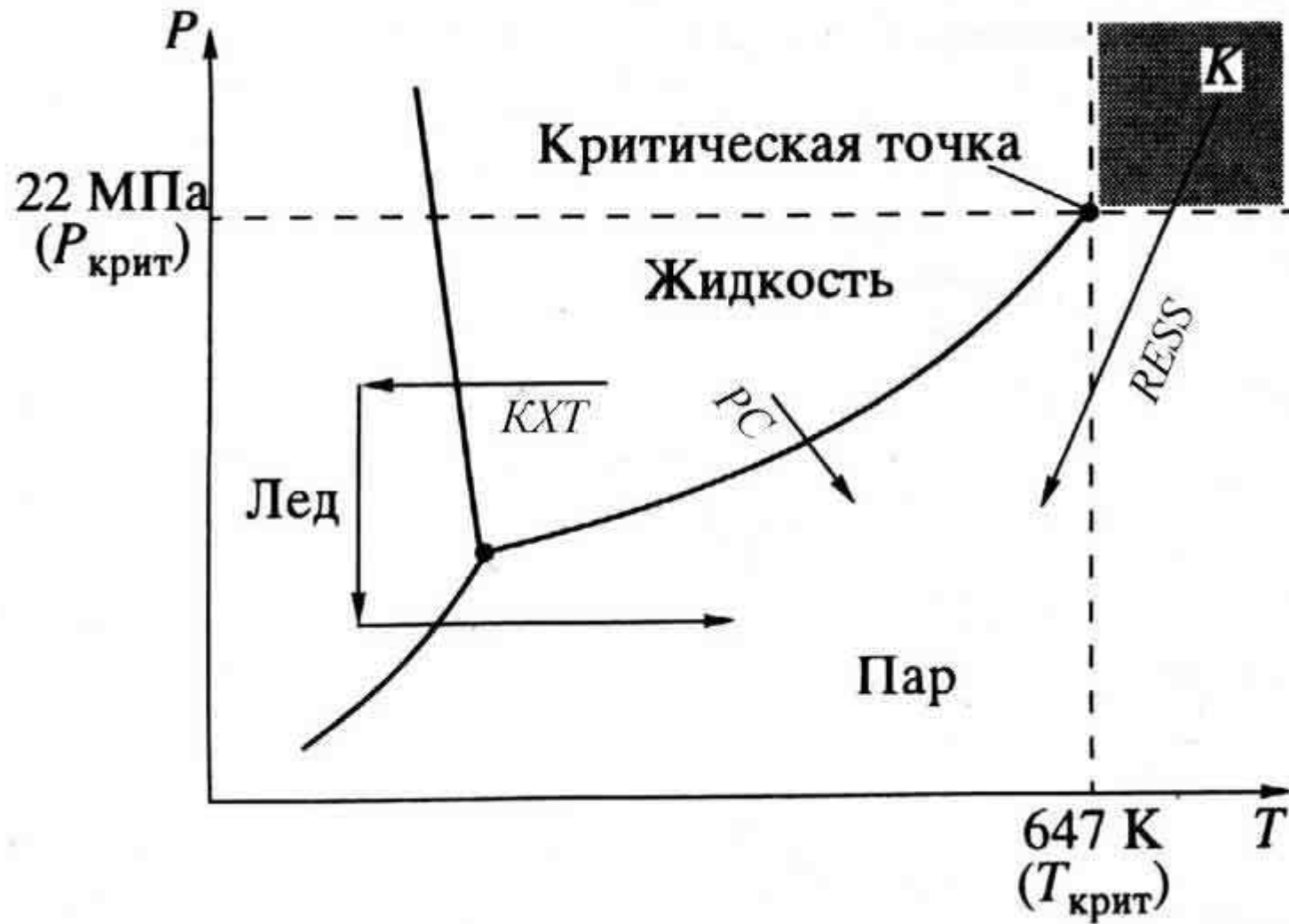
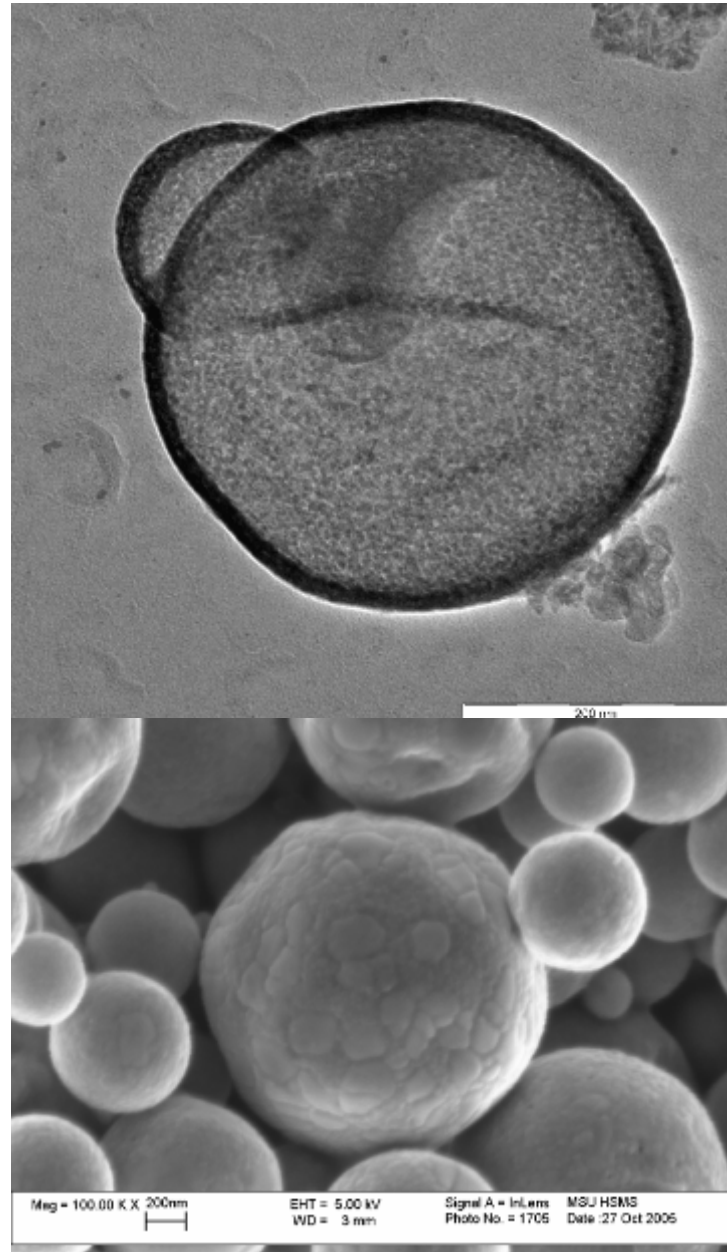
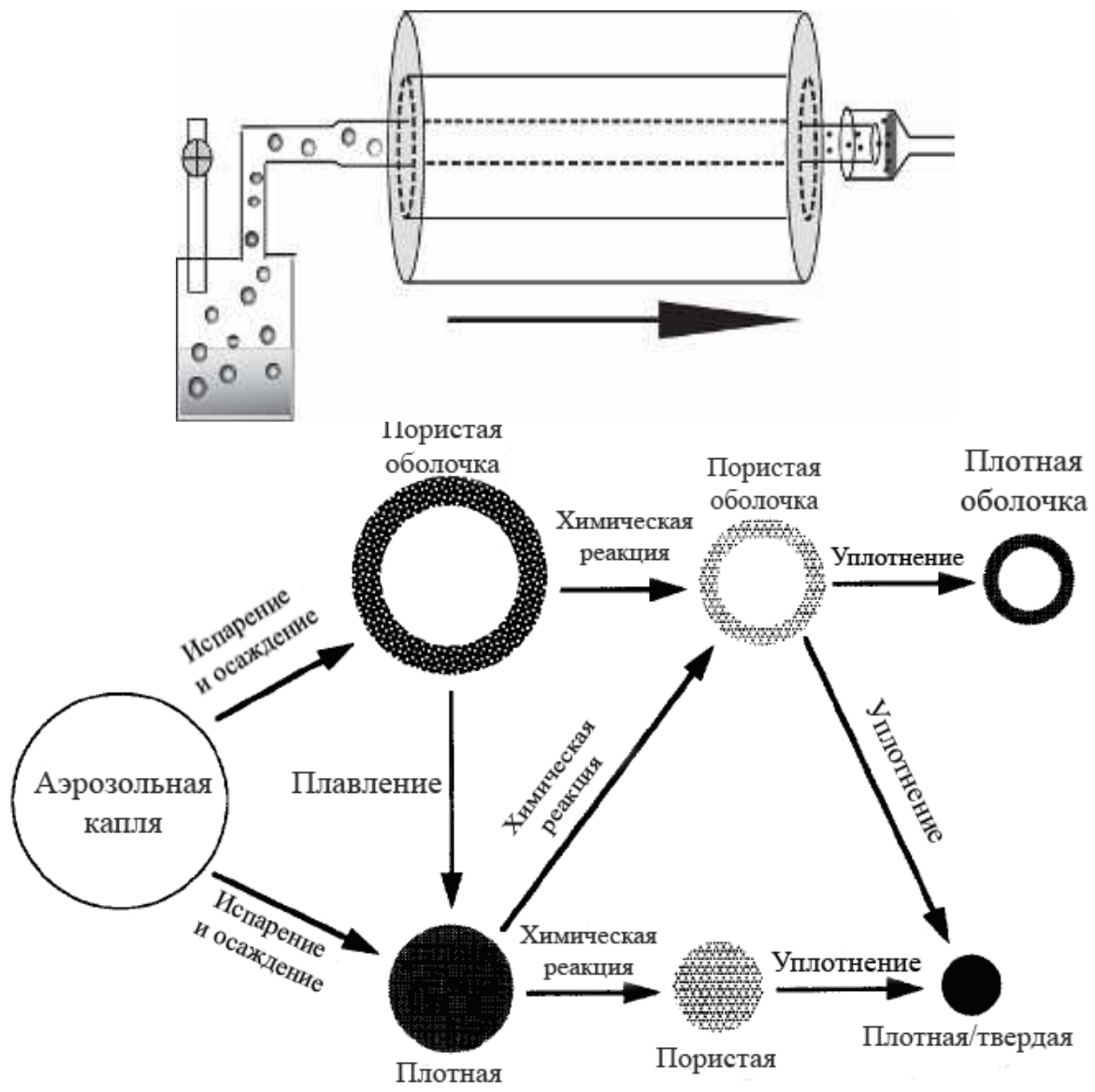


Fig. 8. Ribbon behaviour on dilution.

# Методы химической гомогенизации



# Пиролиз аэрозолей



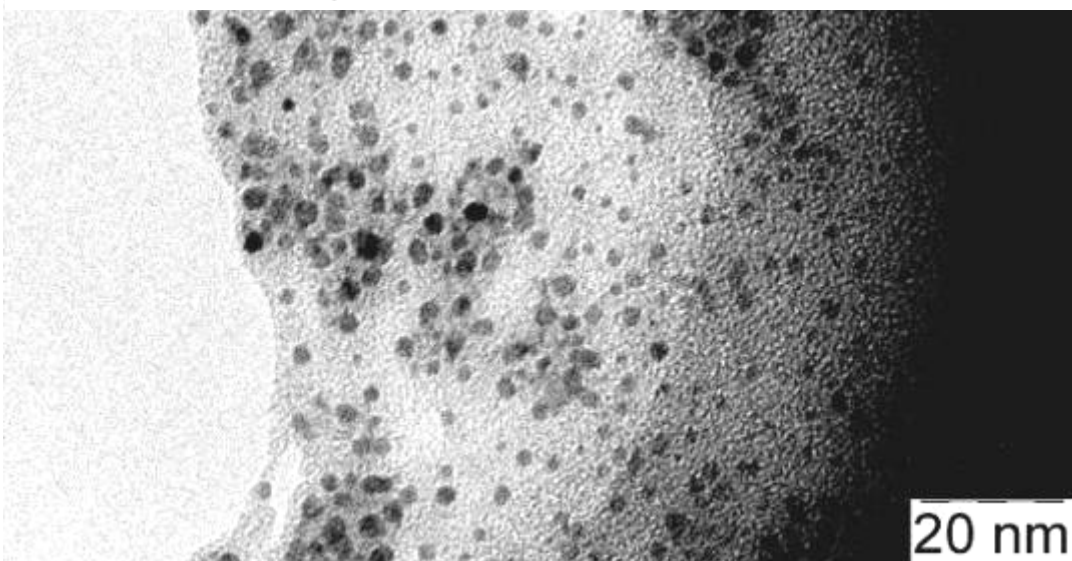
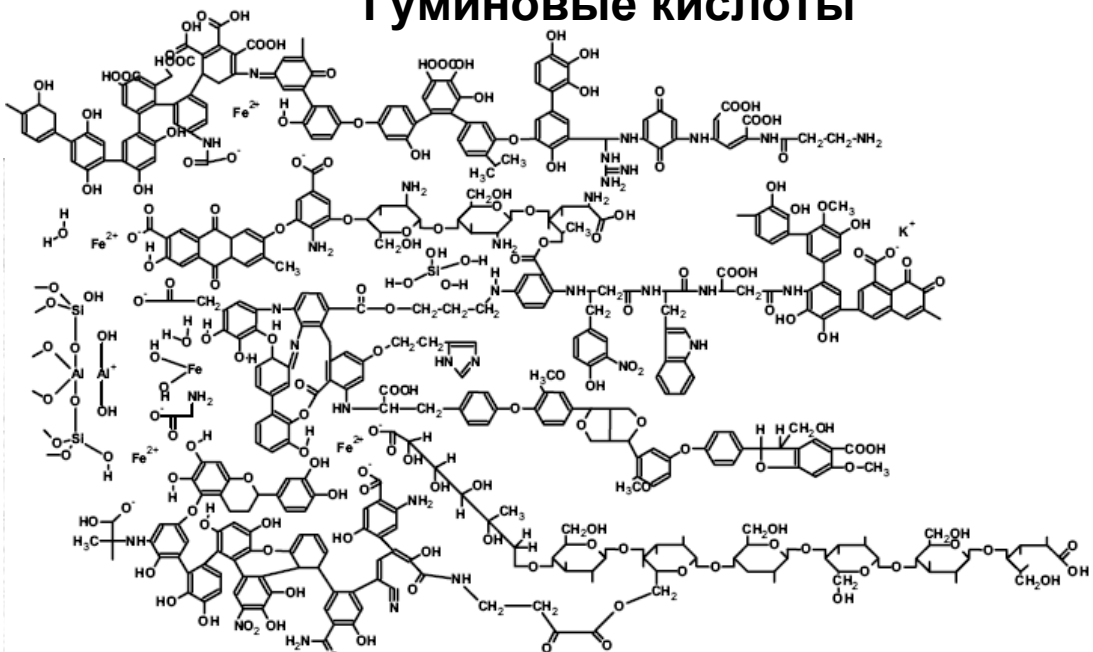
# Наночастицы в капсулах

Средний размер магнитных  
наночастиц – 10 нм

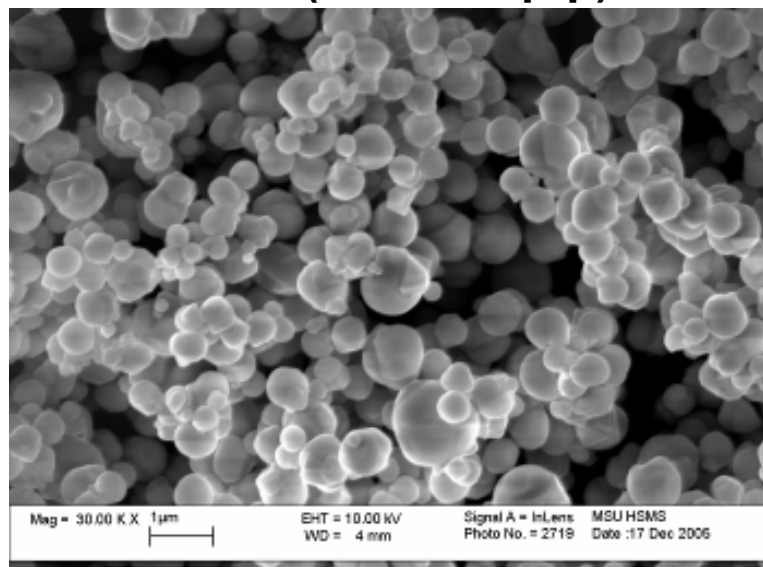


# Магнитоуправляемые наночастицы

## Гуминовые кислоты



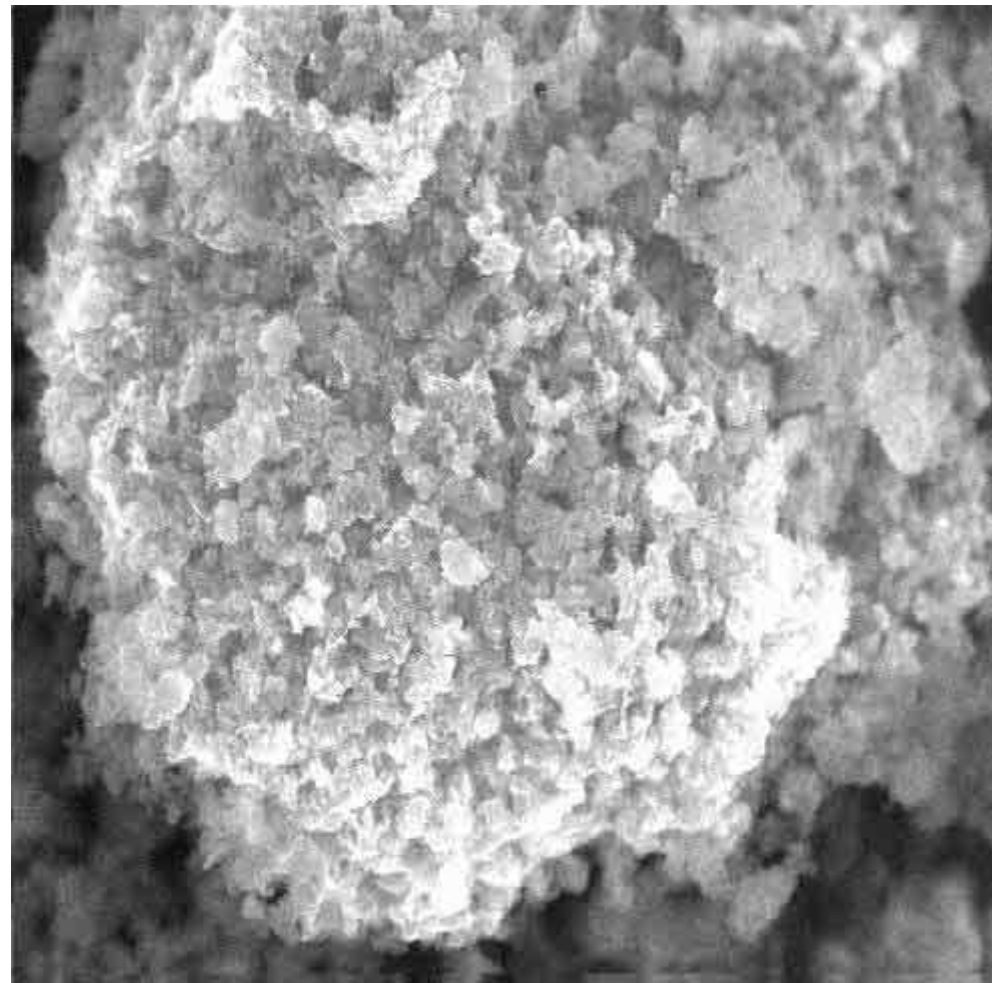
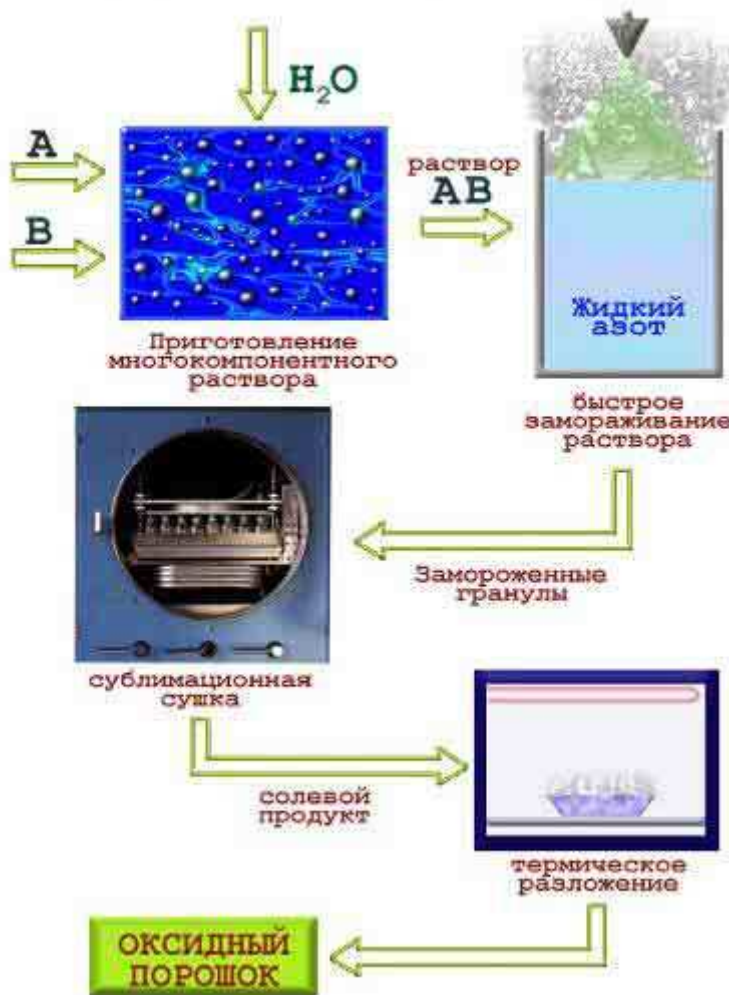
3-10 часов (водный р-р)



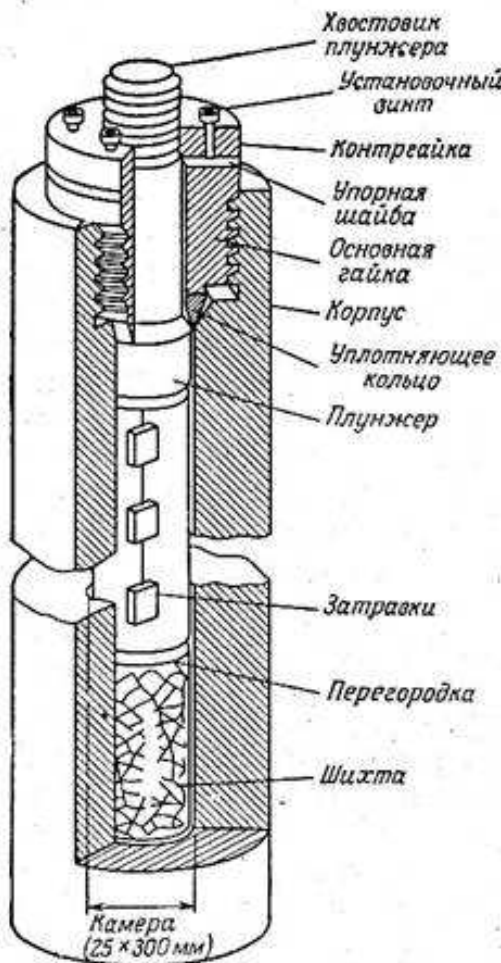
Субмикронные микросфераы  
NaCl :  $\text{Fe}_2\text{O}_3$

# Сублимационная сушка

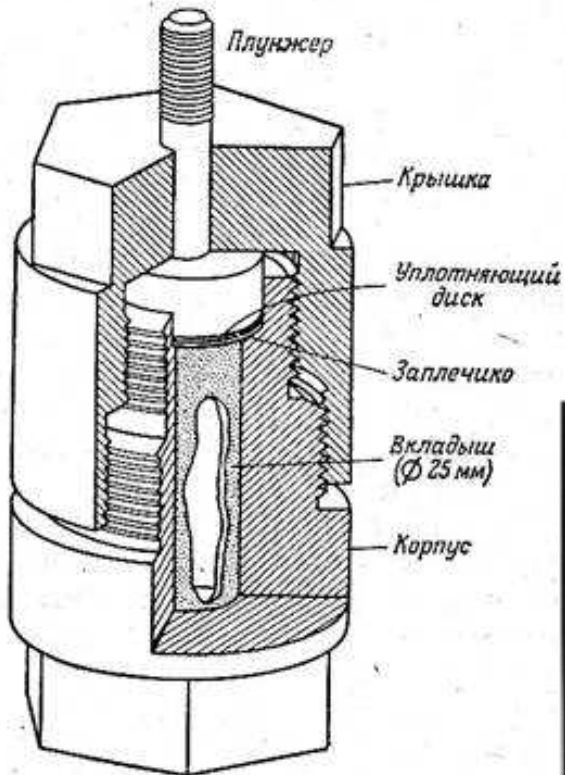
СХЕМА КРИОХИМИЧЕСКОЙ ТЕХНОЛОГИИ



# Гидротермальный метод



Фиг. 7.8. Модифицированный автоклав Бриджмена для выращивания кристаллов в гидротермальных условиях.



Фиг. 7.9. Автоклав Мори для выращивания кристаллов в гидротермальных условиях.

Выращивание  
кристаллов пьезокварца

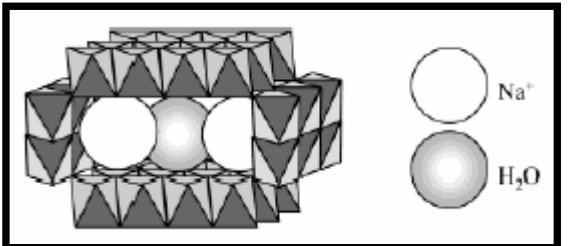
Получение  $\text{SiO}_2$ ,  $\text{Al}_2\text{O}_3$ ,  
 $\text{CaCO}_3$ ,  $\text{ZnO}$ ,  $\text{ZnS}$ ,  
 $\text{CaMoO}_4$ ...

Минерализаторы:  $\text{NaOH}$ ,  
 $\text{KCl}$

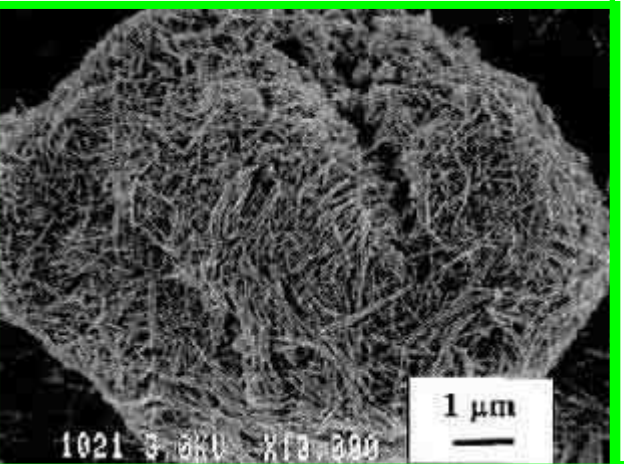




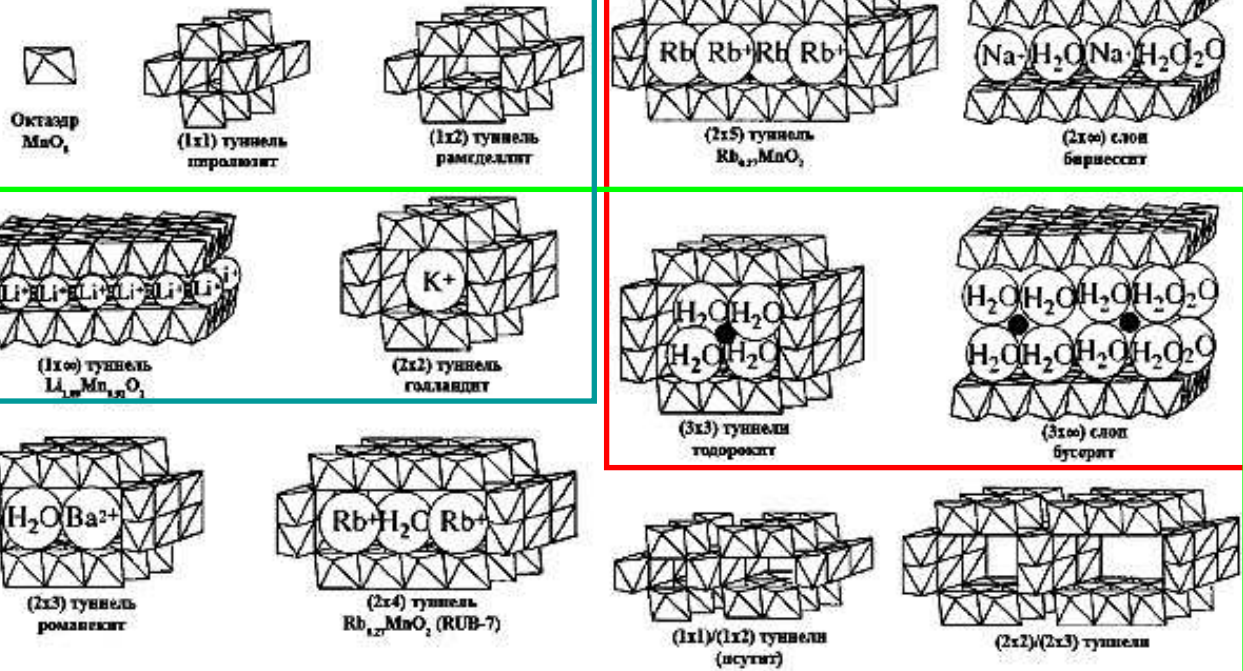
## Катодные материалы



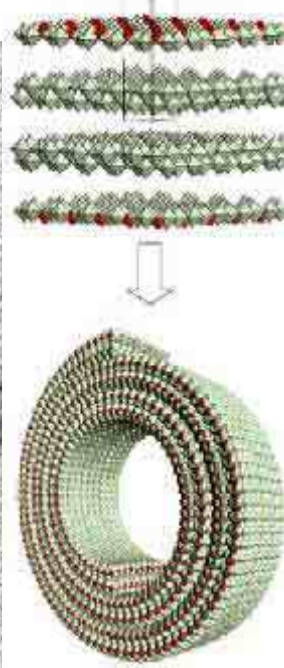
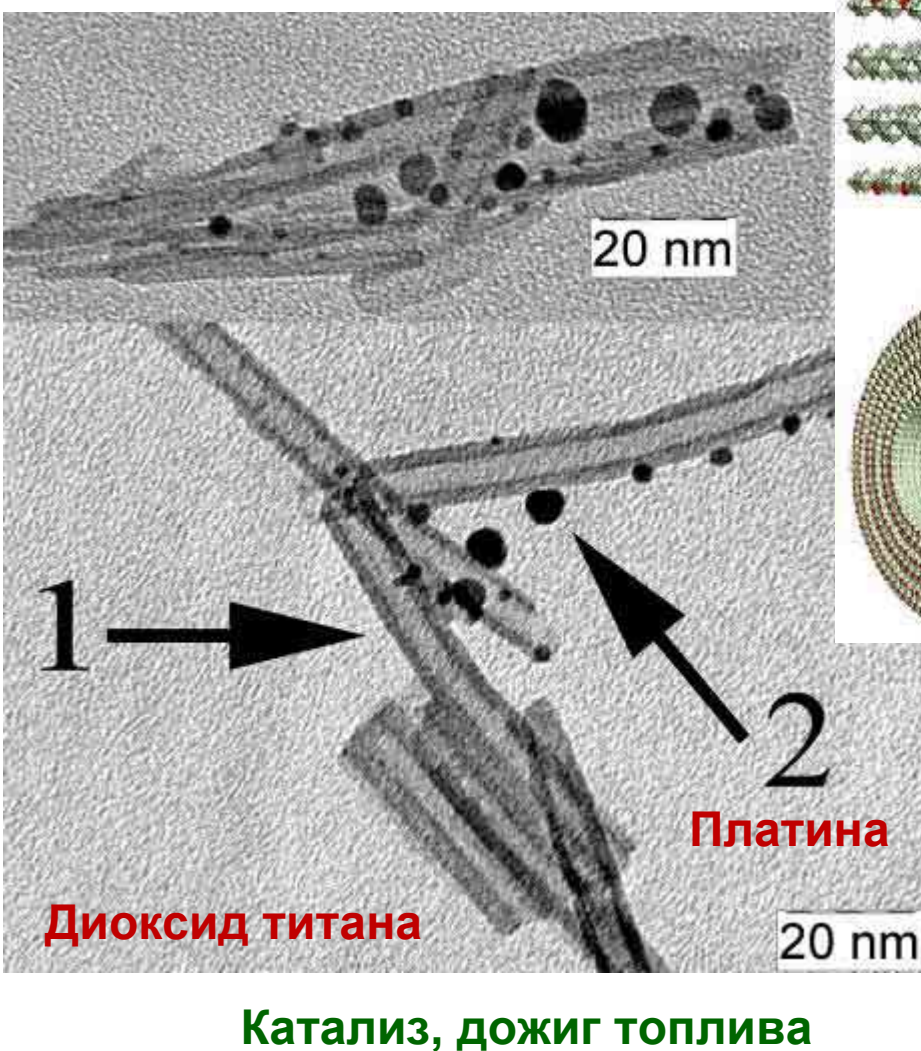
## Катализ



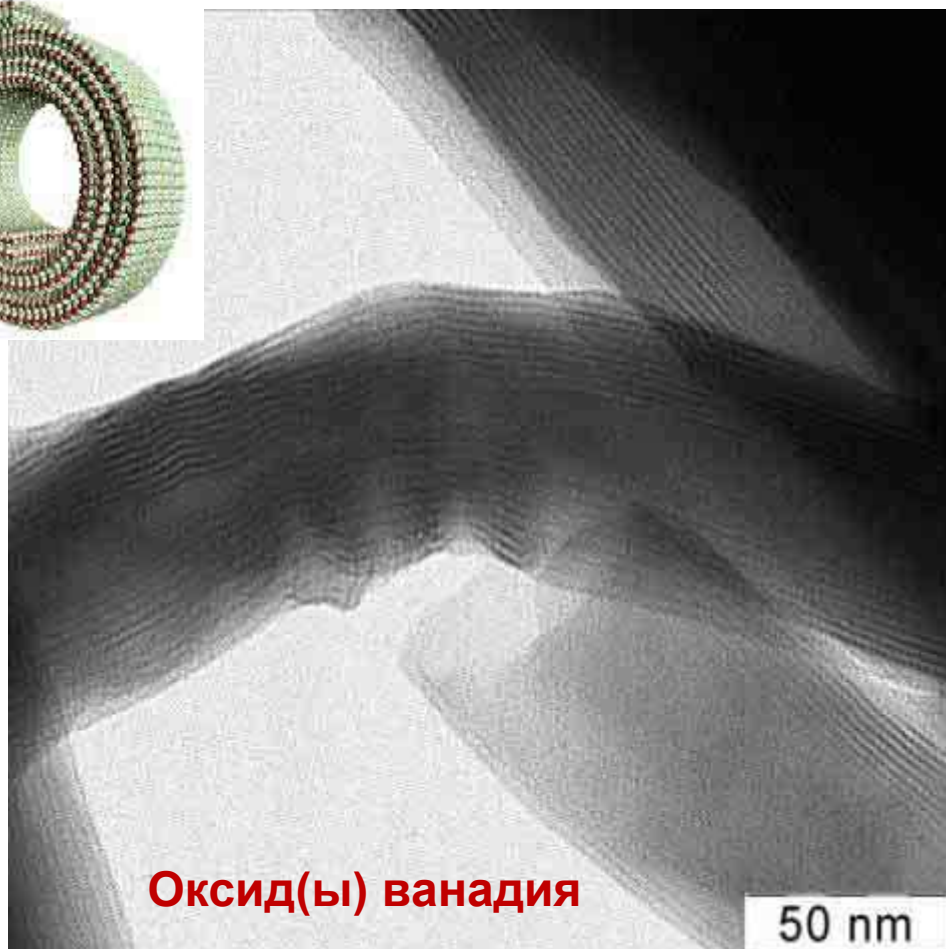
## Молекулярные сита, сорбенты



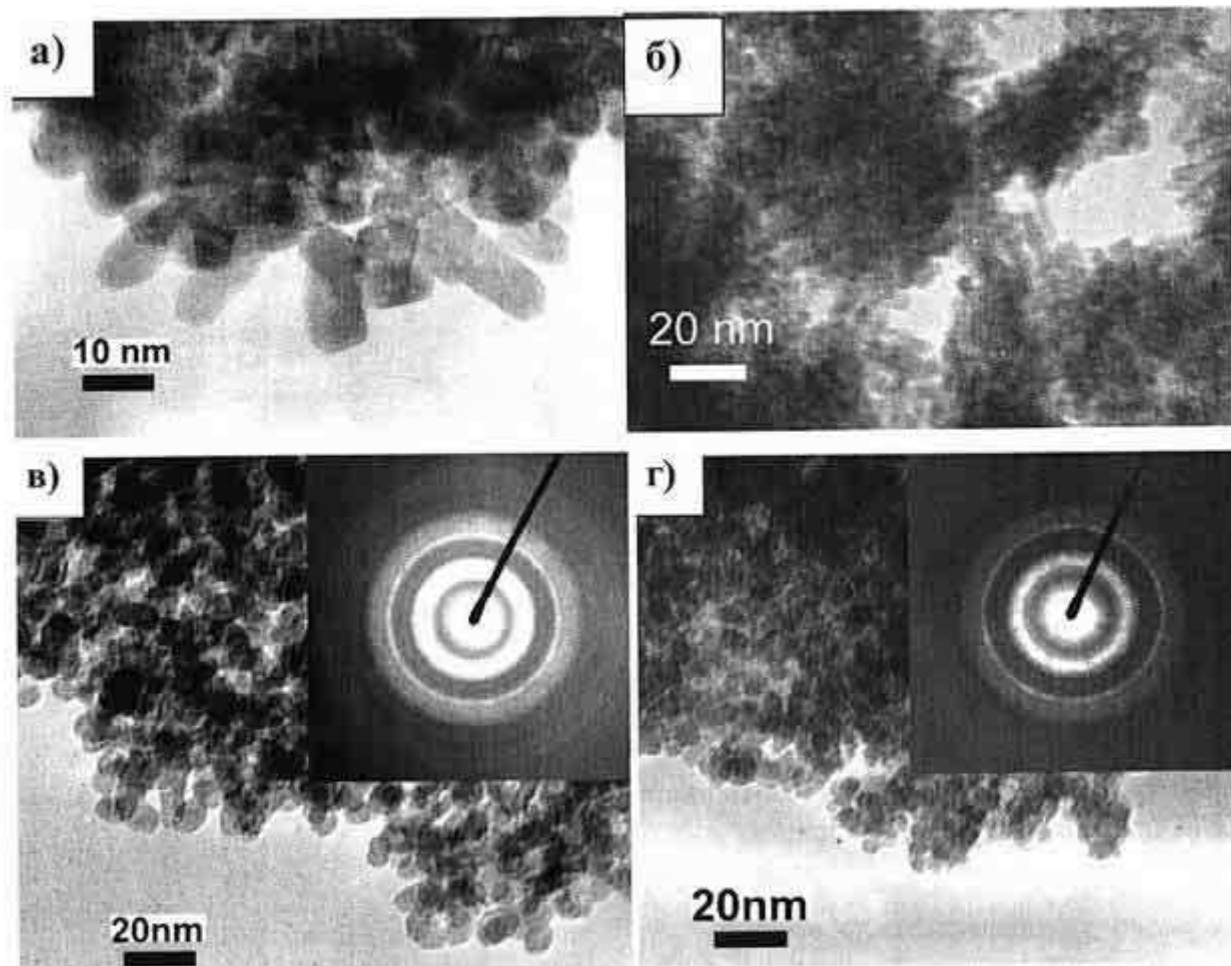
# Неуглеродные нанотрубки



Литий-ионные  
аккумуляторы,  
гибкие катоды

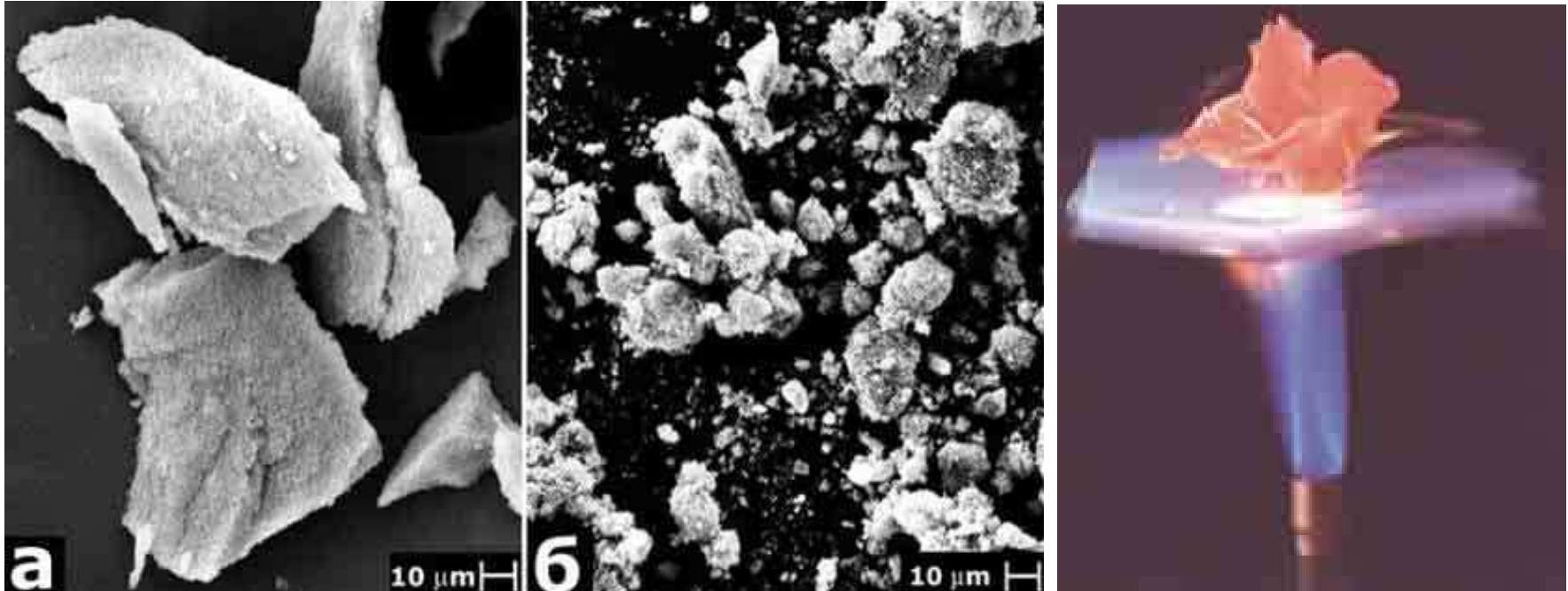


# RESS (расширение сверхкритических растворов)



Электронные микрофотографии (ПЭМ) и данные электронной дифракции (на врезказ (б и в) нанокристаллических порошков  $\text{ZrO}_2$ , синтезированных из водных растворов нитрата циркония следующими методами: а) высокотемпературным гидролизом 0,25 М раствора ( $T=523 \text{ K}$ ,  $\tau=6 \text{ ч}$ ); б) высокотемпературным гидролизом 0,25 М раствора ( $T=403 \text{ K}$ ,  $\tau=1 \text{ ч}$ ); в) RESS-методом ( $T=773 \text{ K}$ ,  $P=100 \text{ МПа}$ ,  $\tau=6-7 \text{ с}$ , 0,05 М); г) RTDS-методом ( $T=623 \text{ K}$ ,  $P=100 \text{ МПа}$ ,  $\tau=4-6 \text{ с}$ , 0,05 М).

# Аэрогели



Плотность	от 0,03 до 0,30г/см <sup>3</sup>
Пористость	от 80 до 99%
Объём пор	от 4 до 14см <sup>3</sup> /г
Удельная поверхность	от 400 до 900м <sup>2</sup> /г
Средний размер частиц	от 4 до 6нм

## Области применения и назначения

Теплоизоляторы, газовые фильтры, в черенковских детекторах для регистрации заряженных частиц высоких энергий, в промышленности в качестве промежуточного продукта синтеза носителей, катализаторов, высокогомогенных стекол, стекловолокон

# Пена и аэрогель гибридного материала на основе $V_2O_5$

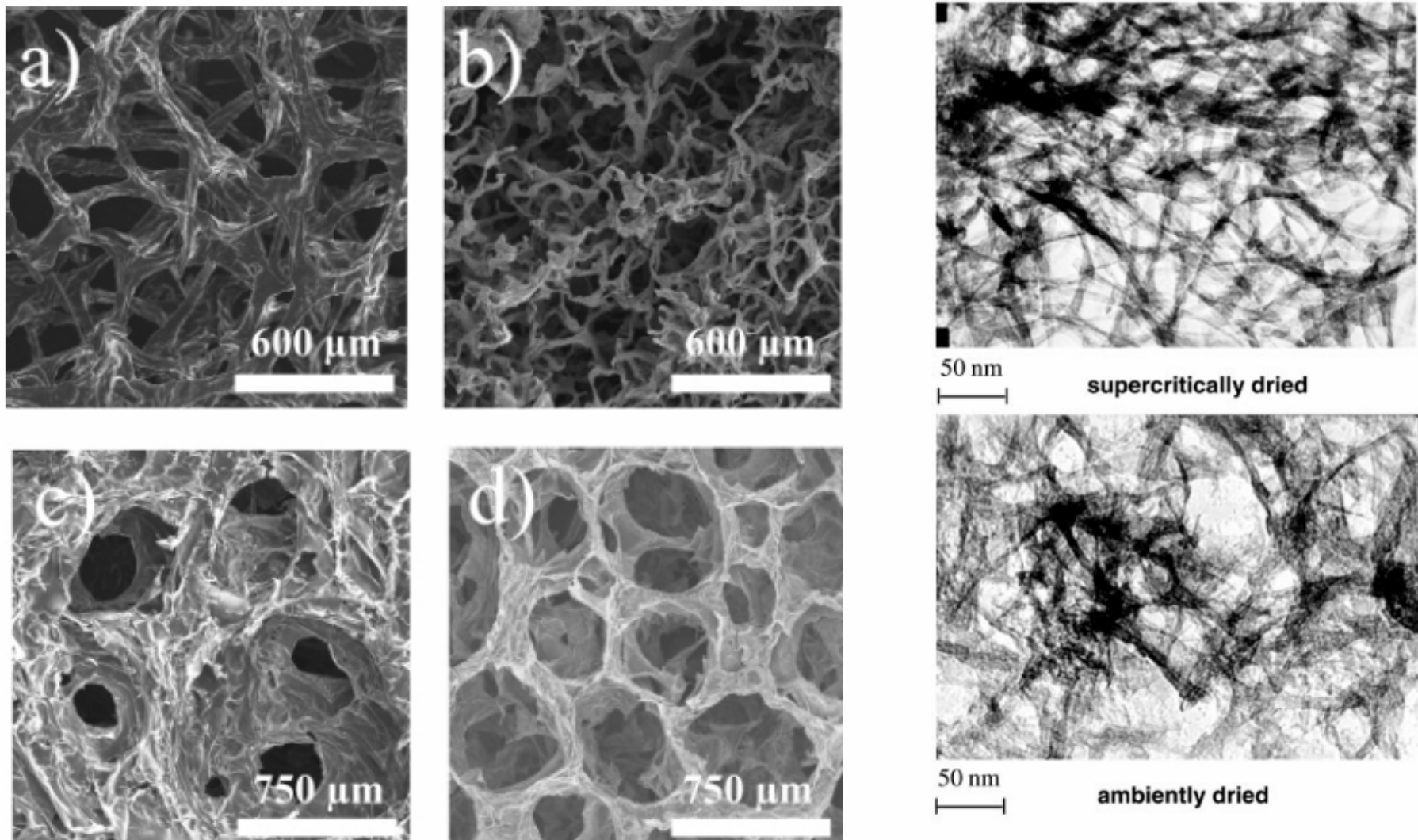
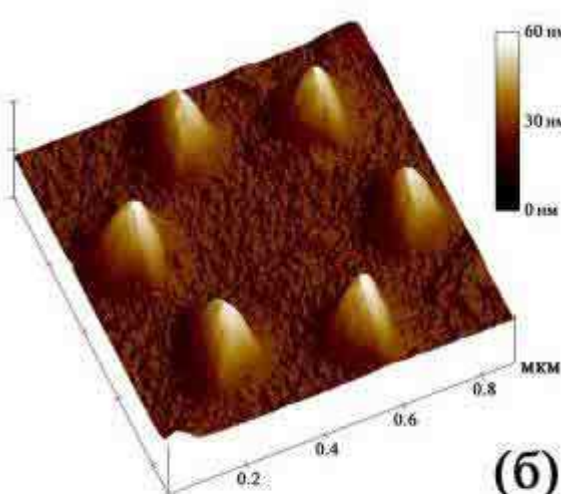
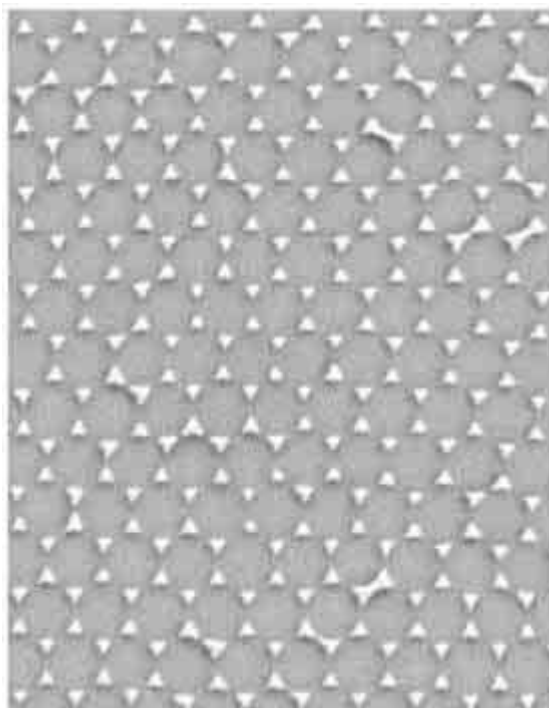
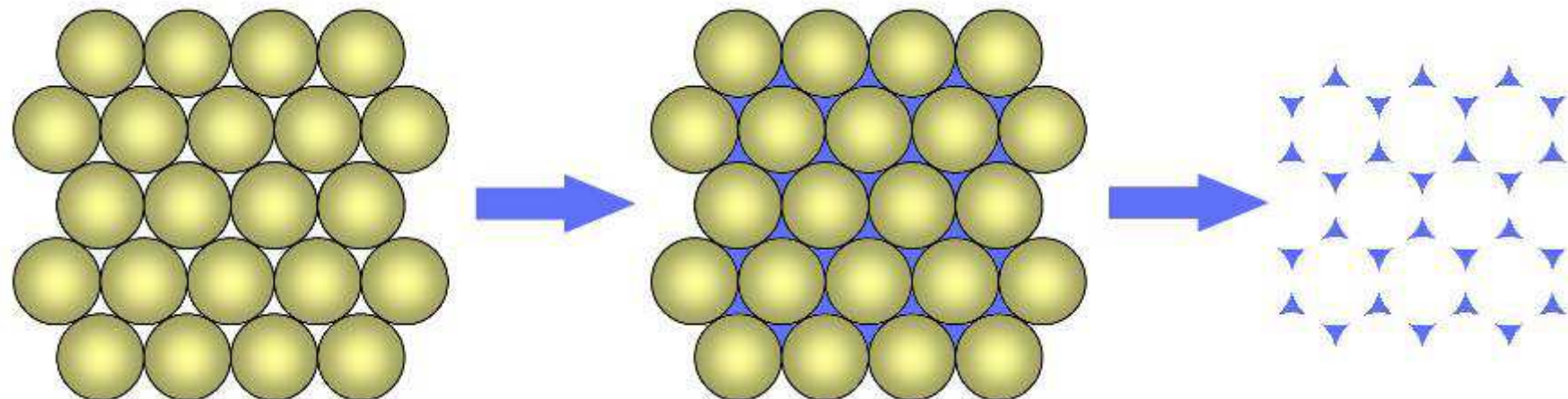


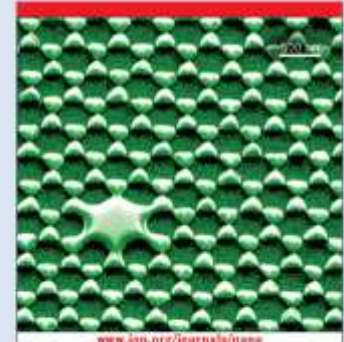
Fig. 7 Transmission electron micrographs comparing vanadium oxide gels dried by (top) supercritical drying from CO<sub>2</sub> to form an aerogel and (bottom) ambient-pressure evaporation of hexane to form an ambigel.

# Микросферная литография



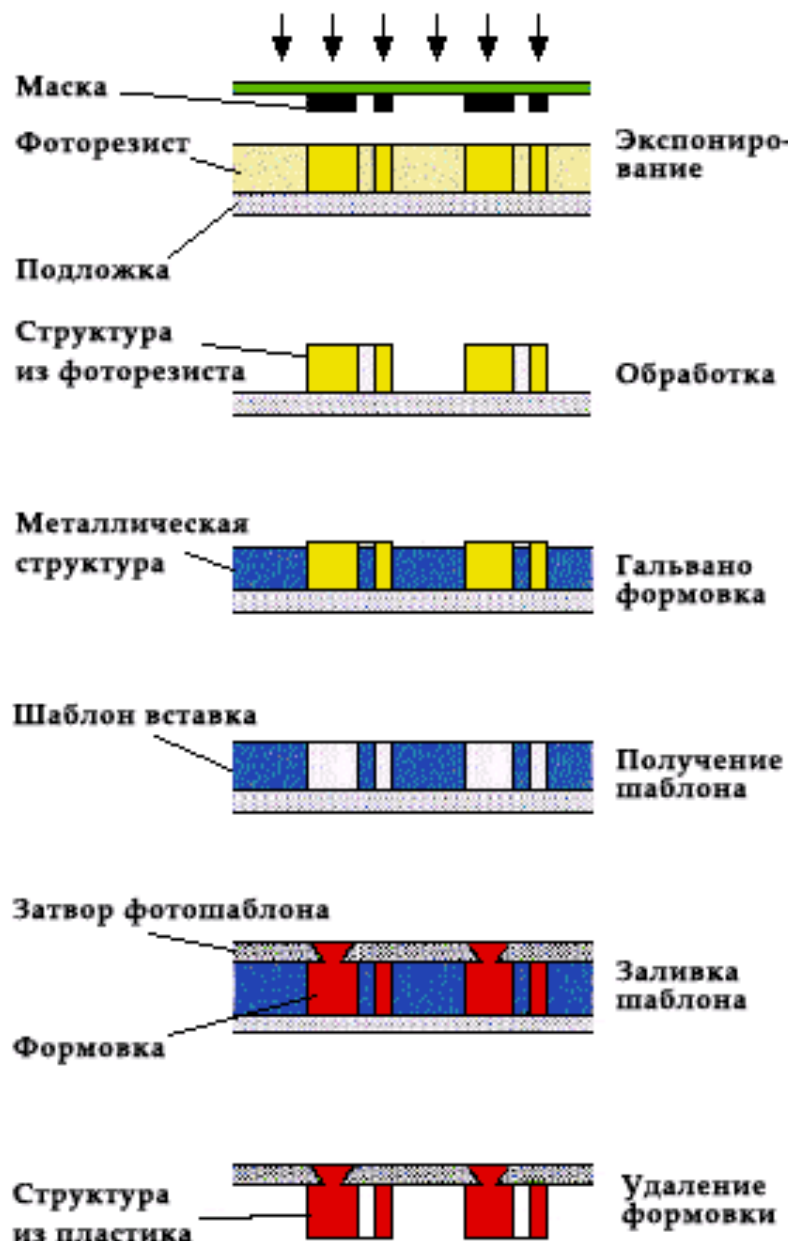
Co

ISSN 0957-4484  
VOLUME 18 NUMBER 30 1 AUGUST 2007  
**NANOTECHNOLOGY**

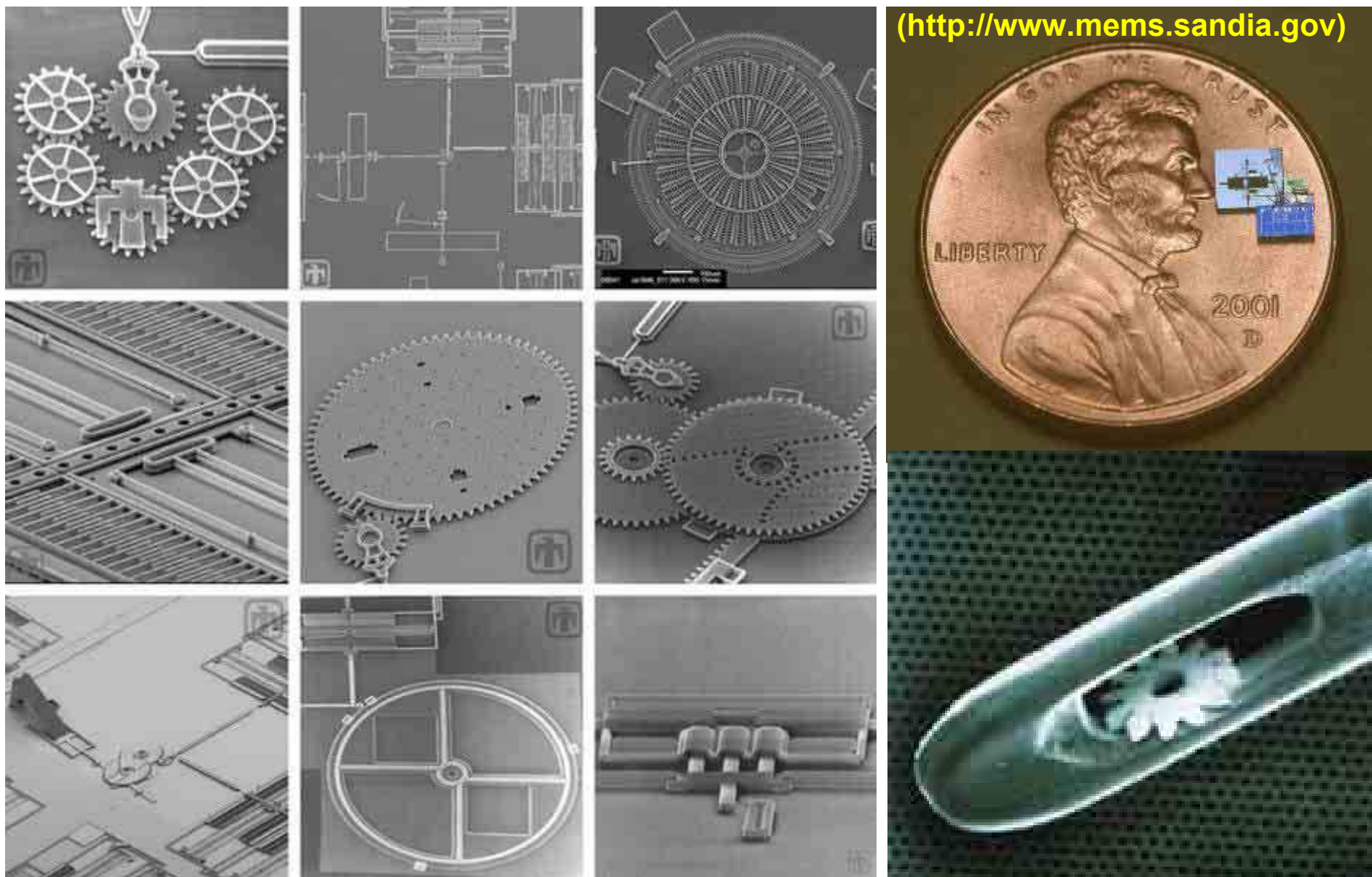


[www.iop.org/journals/nano](http://www.iop.org/journals/nano)  
Featured article:  
Oxidized arrays of silicon pillars with controlled height  
and aspect ratio  
Alexander Smetski, Zeyn Nematier, Jürgen Nölke,  
Markus Främler and Ulrich Sauer

# MicroElectroMechanicSystems

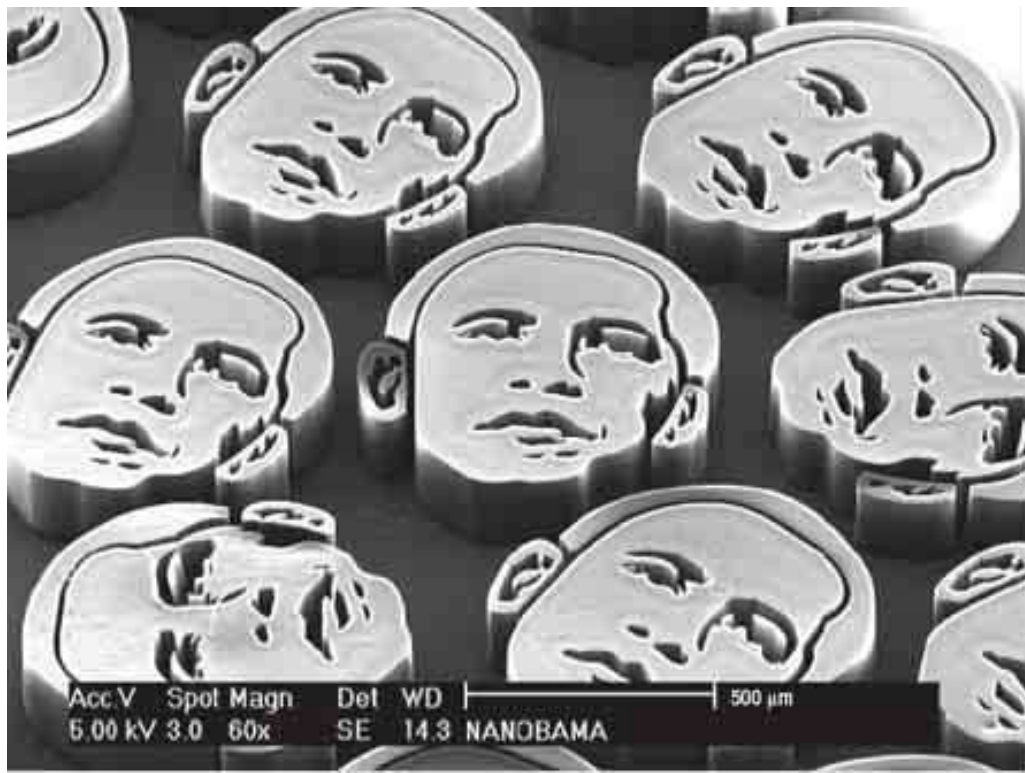
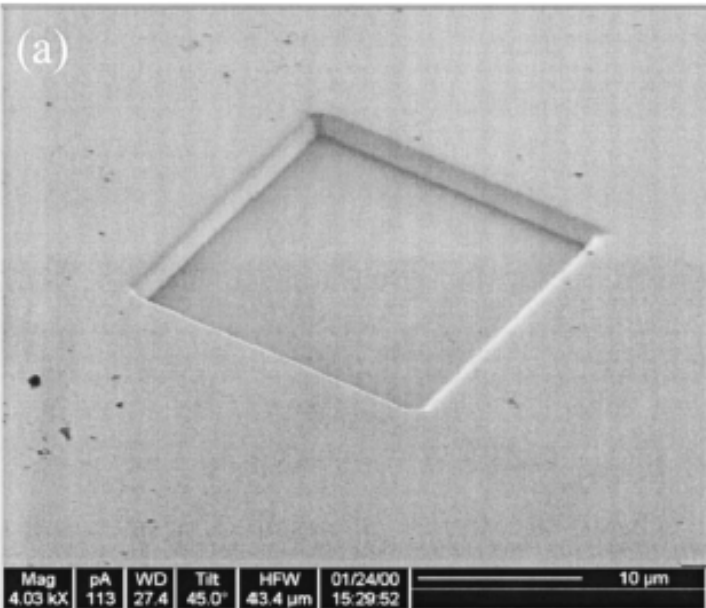


# Микрозажимы, микроманипуляторы



(<http://www.mems.sandia.gov>)

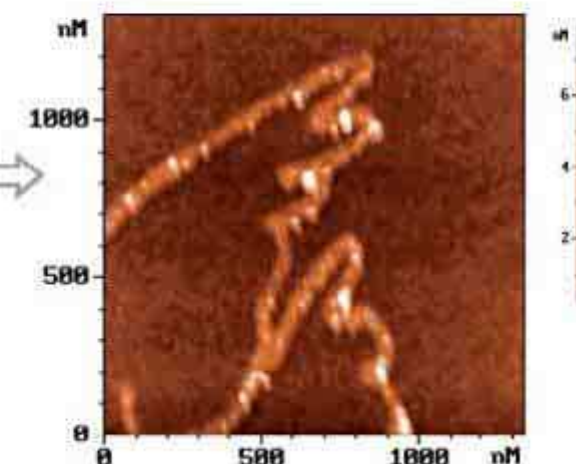
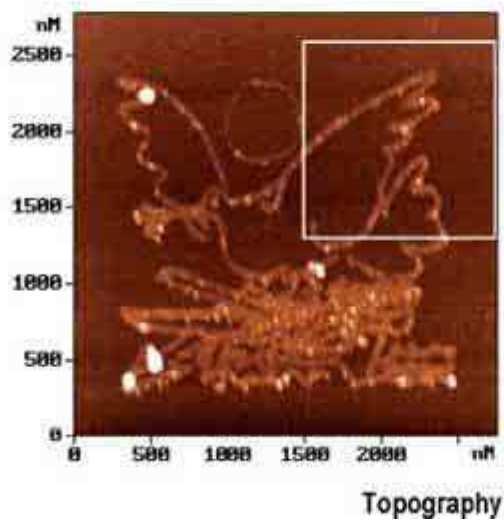
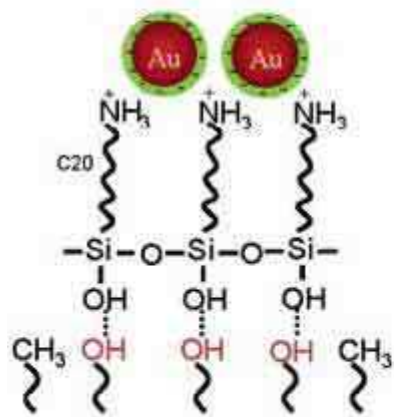
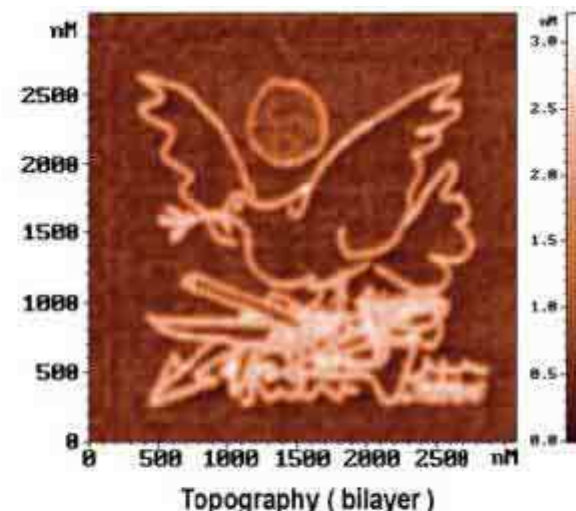
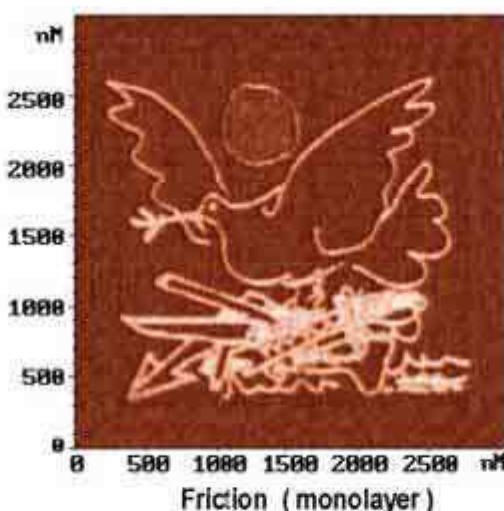
# Литография фокусированным пучком заряженных частиц



Примеры структур, получаемых с помощью фокусированного ионного или электронного пучка.

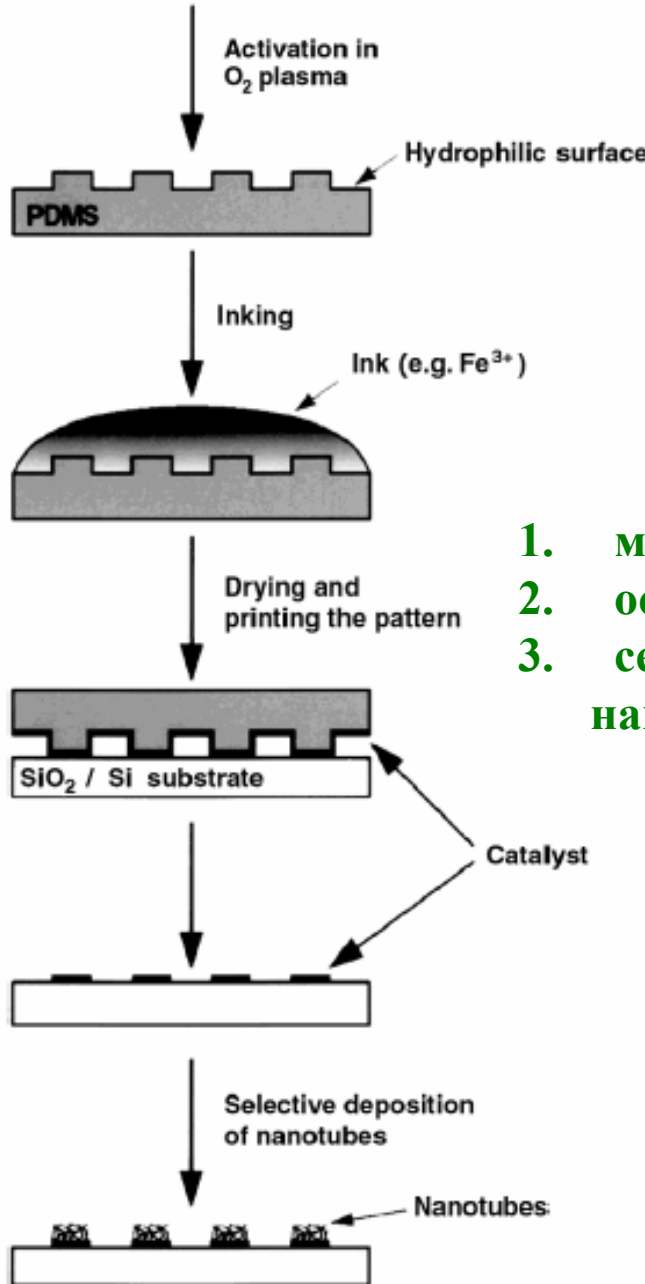
# Нанолитография

World Without Weapons  
P. Picasso, 1962



J. Sagiv and R. Maoz, Weizmann Institute, 2004

# «Мягкая» литография



1. микропечать
2. островки катализатора
3. селективное осаждение нанотрубок

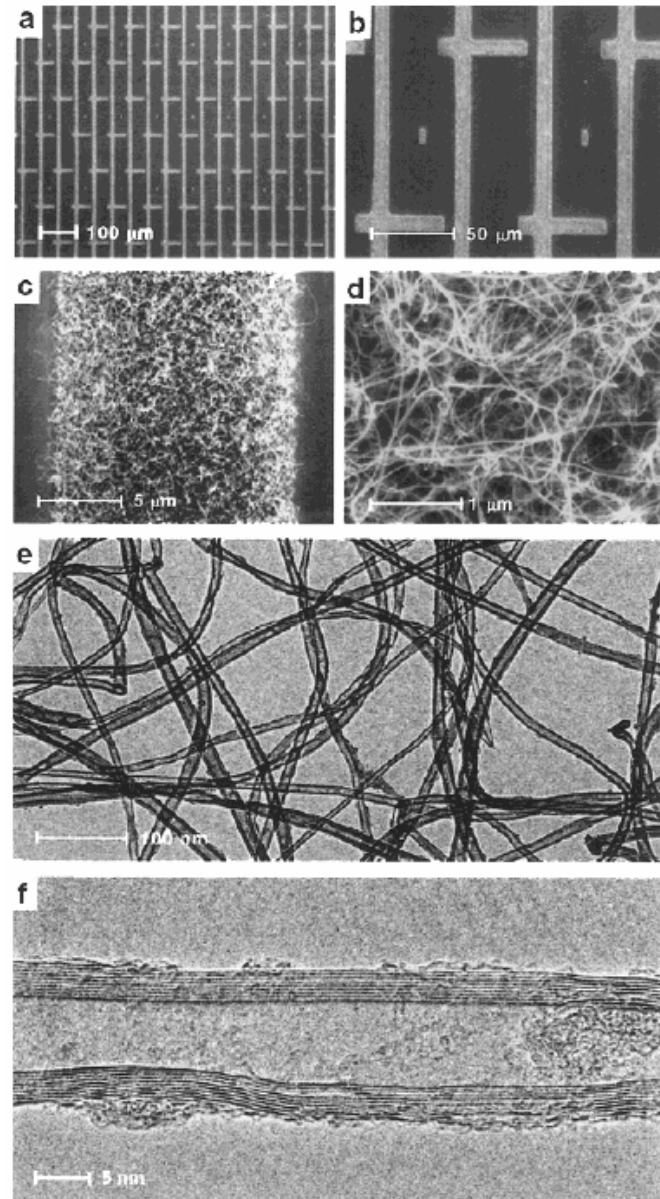
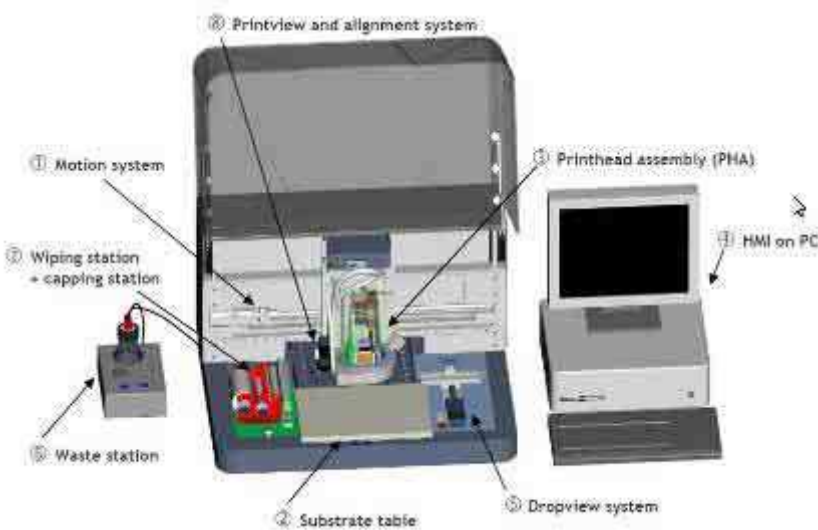
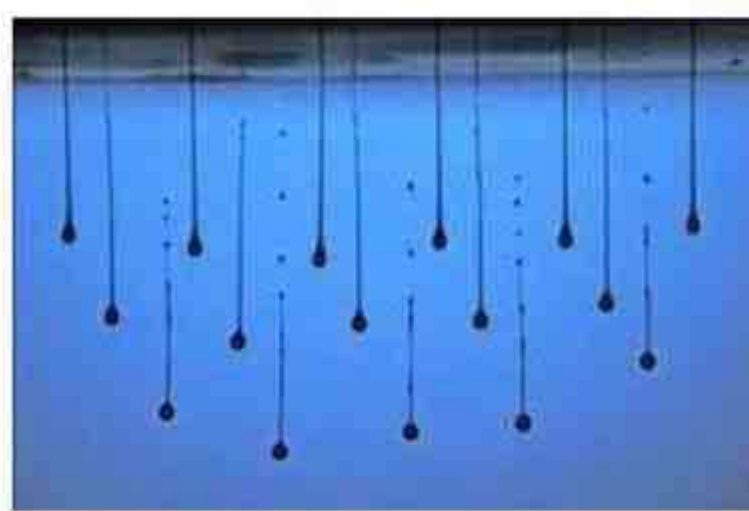


Fig. 2. Scanning electron microscopy images (a-d) of a surface with patterned carbon nanotubes at different scales and high-resolution transmission electron microscopy images (e,f) of the nanotubes. The substrate was prepared according to the procedures described in the experimental section with an ink concentration of 100 mM Fe<sup>3+</sup>.

# Микропечать



## Specifications

- Technology Piezo MEMS DOD Glass & Silicon
- Droplets rate 0 – 25,000 [droplets/sec]
- Drop volume
  - PL128-L: 15-30 [pL]
  - PL128-S: 12-25 [pL]
- Number of nozzles 128 (2 row of 64 nozzles)
- Nozzle resolution 49.32 [dpi] (Spacing: 0.515 mm)
- Drop velocity (nominal) 5-10 m/s
- Ink Viscosity 1 - 10 cPs
- Chemical resistant Ph 1 to 13
- Mounting direction Vertical, Horizontal
- Independent control for each nozzle row
- Dimensions 50 x 5 x 72 mm<sup>3</sup>

# Микропечать наночастицами

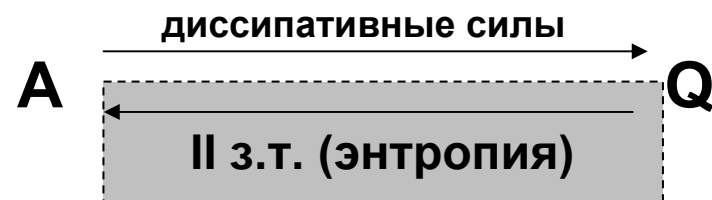
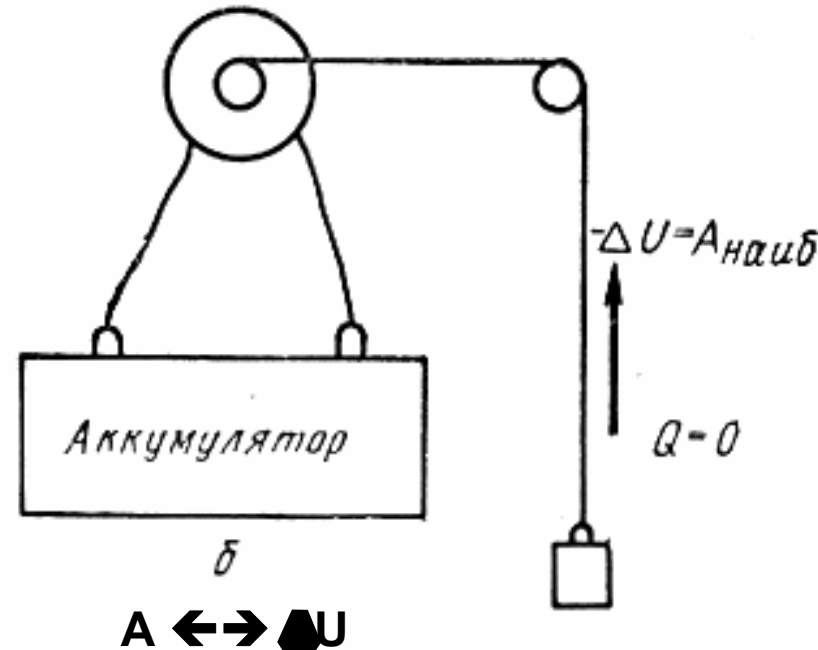
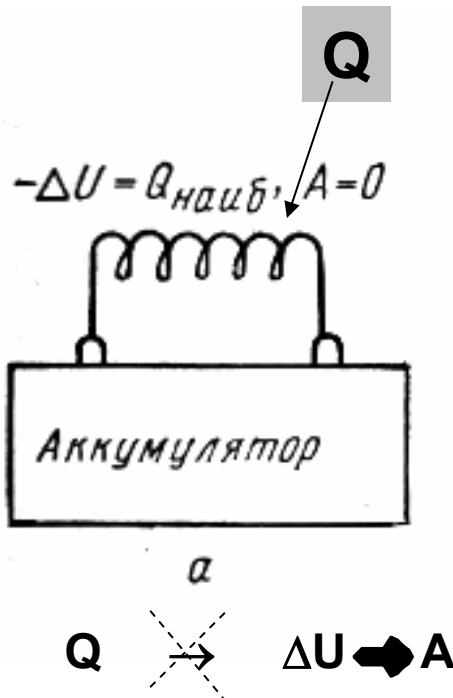


# Основные методы синтеза ультрадисперсных материалов



- Получение кластеров («сборка»)
- Осаждение из газовой фазы («физические» и «химические» методы)
- Самосборка
- Нанореакторы (нанотрубки, мезопористые матрицы (1D), слоистые двойные гидроксиды, глины (2D), цеолиты (3D)), темплаты
- ...

# «Снизу-вверх». Немного о работе и теплоте



# Законы Мерфи

*Следствия II з.т.:*  
«чудес не бывает»  
«законы Мерфи»

## Закон Мэрфи

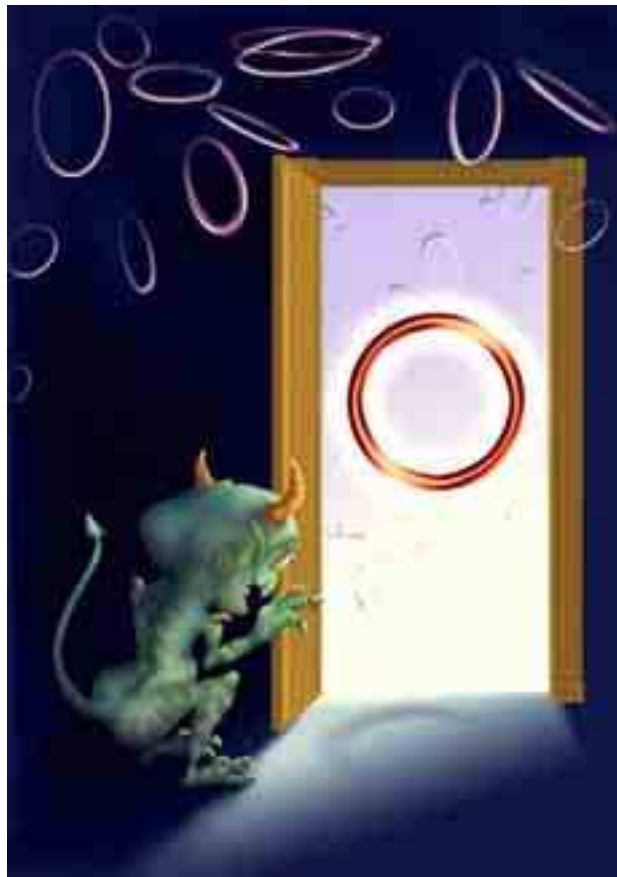
**Если какая-нибудь неприятность может произойти, она случается**

Следствия:

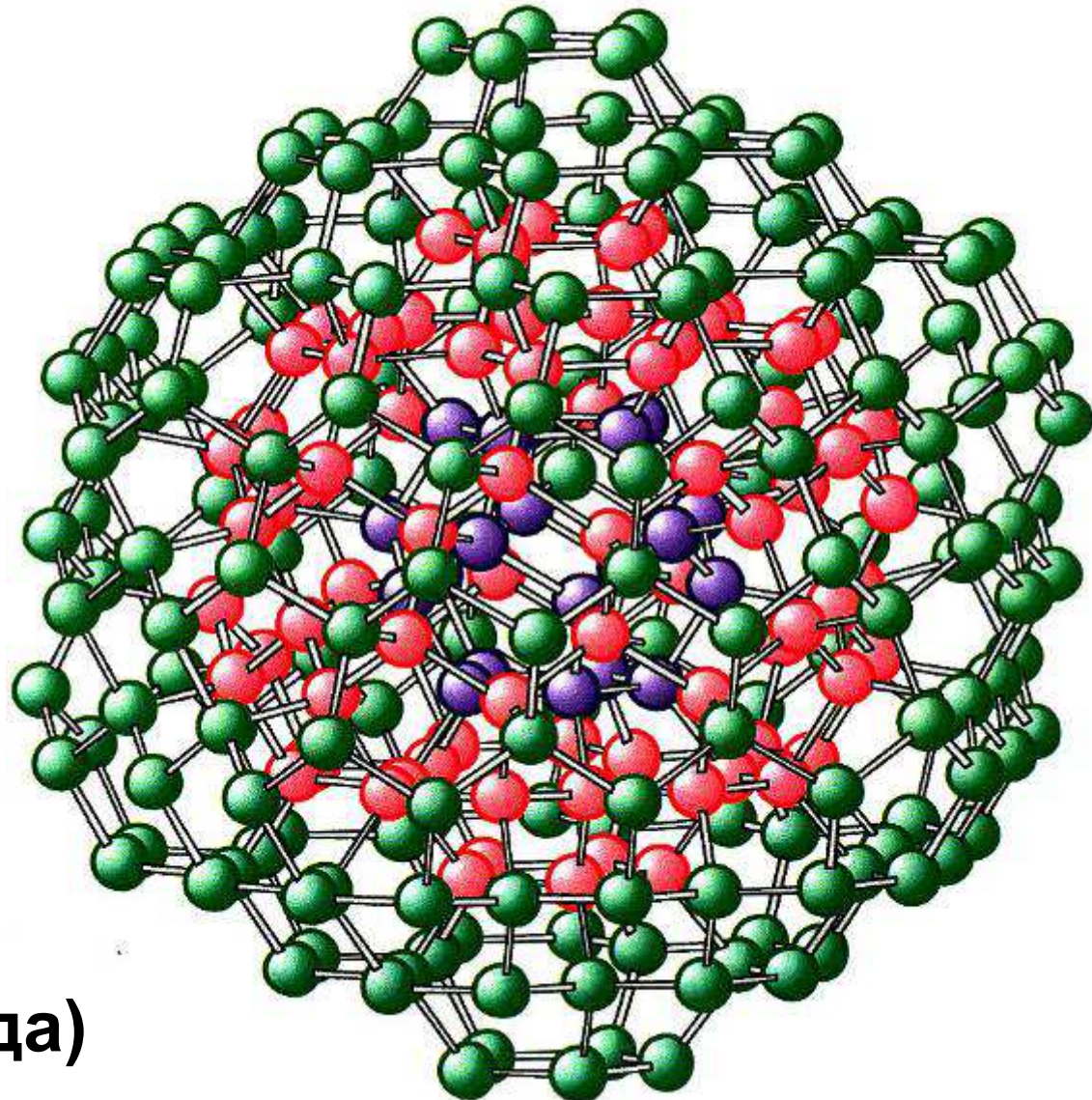
1. Из всех неприятностей произойдет именно та, ущерб от которой больше;
2. Представленные сами себе, события имеют тенденцию развиваться от плохого к худшему;
3. Если эксперимент удался, что-то здесь не так (первый закон Финэйгла)

*вероятность удачи < суммы вероятности неудач*

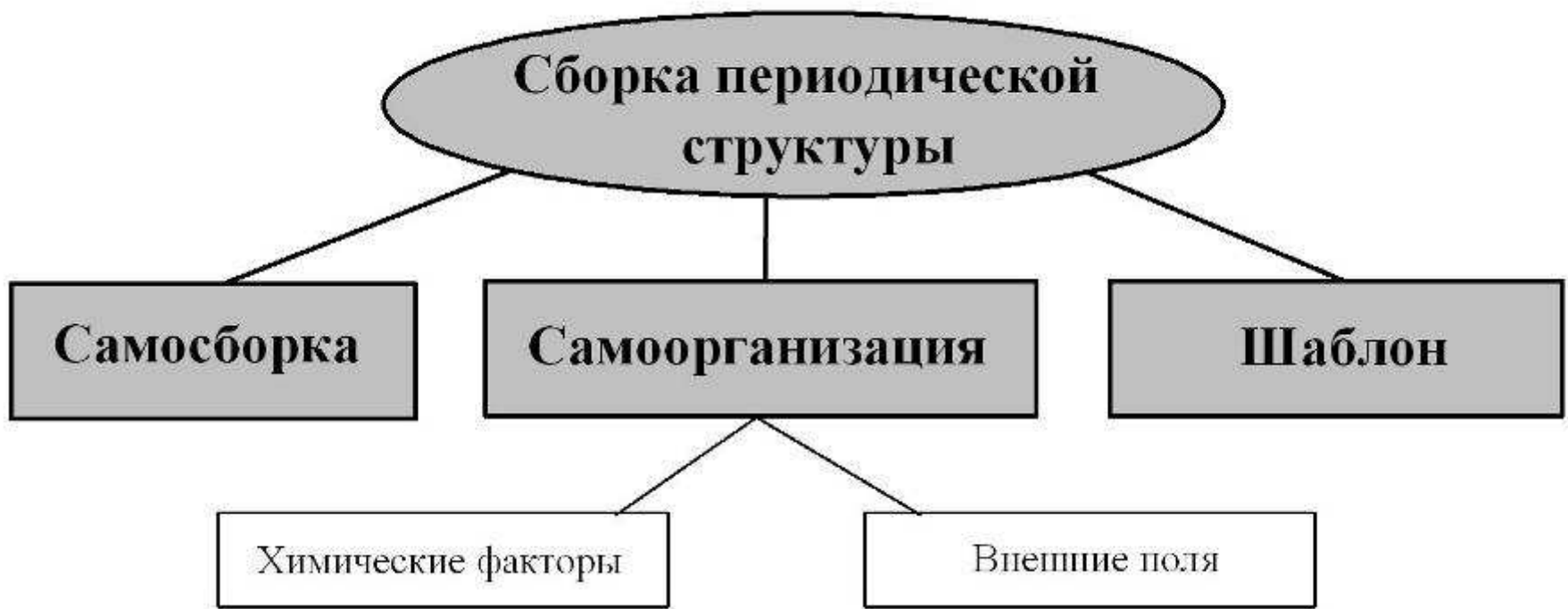
# Демон Максвелла и наноалмаз



1 моль  $\sim 6 * 10^{23}$   
(12 грамм углерода)



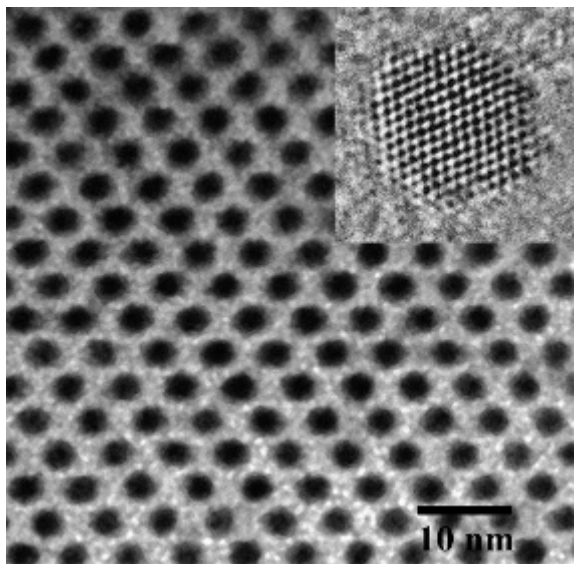
$$\Delta G = \Delta H - T \Delta S = \text{«чудес не бывает»}$$



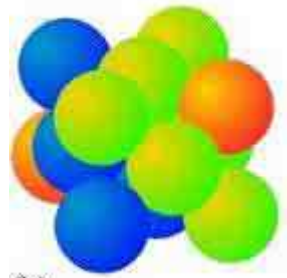
**Самосборка** – процесс образования упорядоченной надмолекулярной структуры или среды, в котором в практически неизменном виде принимают участие только компоненты (элементы) исходной структуры, аддитивно составляющие или «собирающие», как части целого, результирующую сложную структуру.

**Самоорганизация** может быть использована как механизм создания сложных «шаблонов», процессов и структур на более высоком иерархическом уровне организации, чем тот, что наблюдался в исходной системе, за счет многочисленных и многовариантных взаимодействий компонент на низких уровнях, на которых существуют свои, локальные, законы взаимодействия, отличные от коллективных законов поведения самой упорядочивающейся системы. Для процессов самоорганизации характерны различные по масштабу энергий взаимодействия, а также существование ограничений степеней свободы системы на нескольких различных уровнях ее организации.

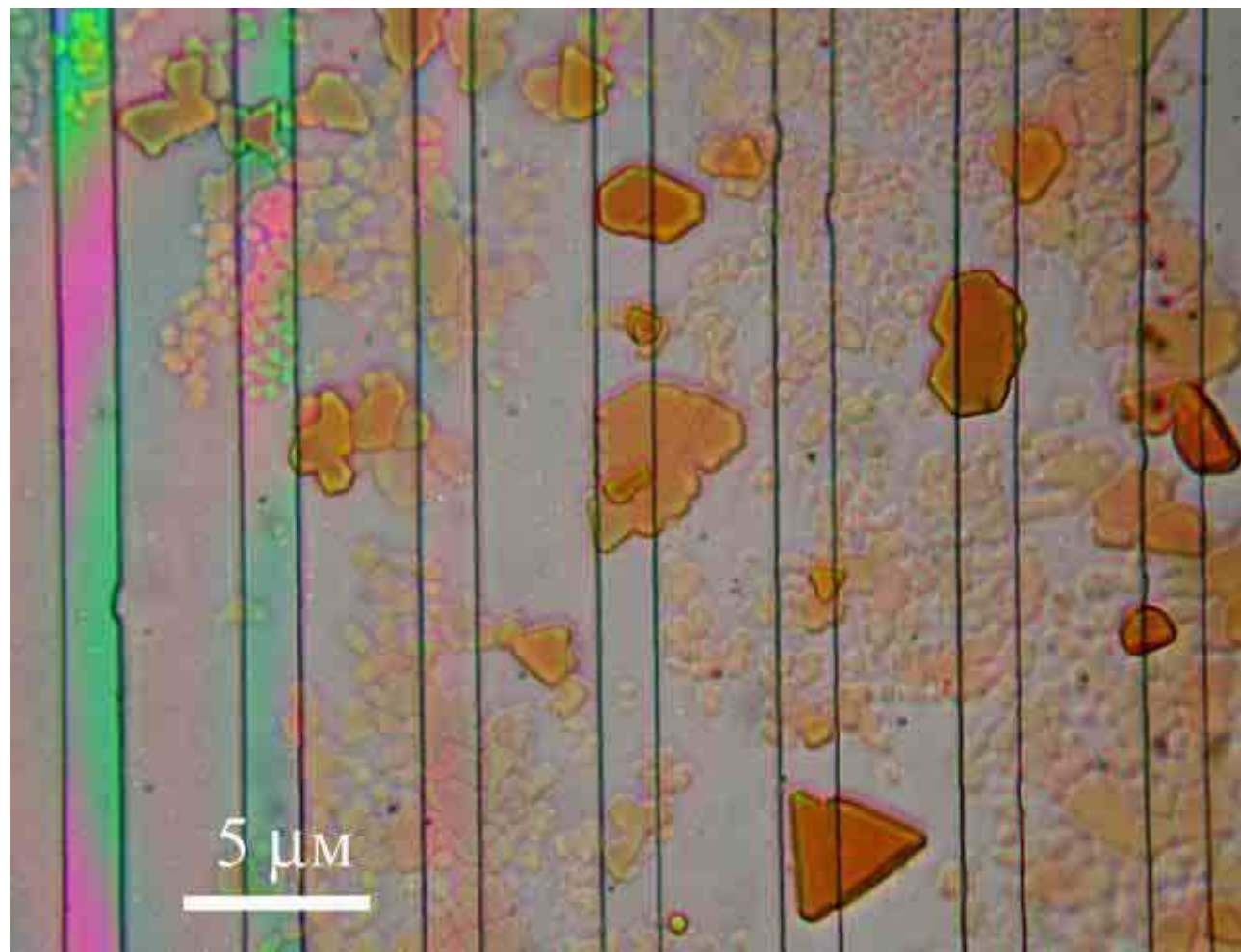
# Коллоидные кристаллы



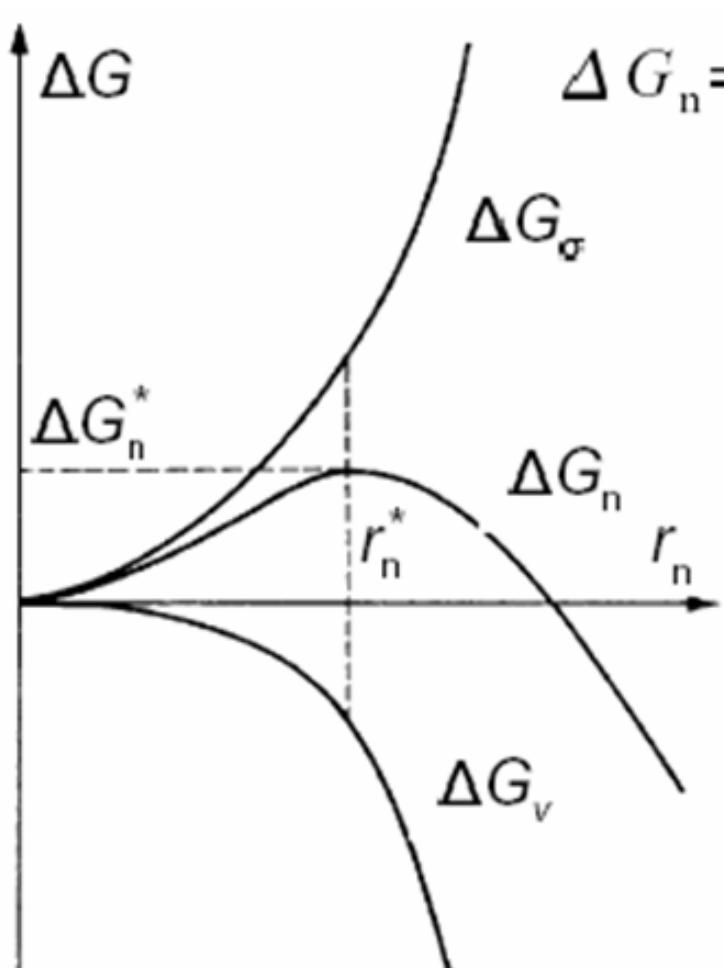
(a)



(b)



# Гомогенное зародышеобразование



$$r_k = \frac{2\sigma V}{RT \ln S}$$

$$\Delta G_n = \Delta G_v + \Delta G_\sigma = \frac{4}{3} \pi r_n^3 \Delta g / v + 4 \pi r_n^2 \sigma$$

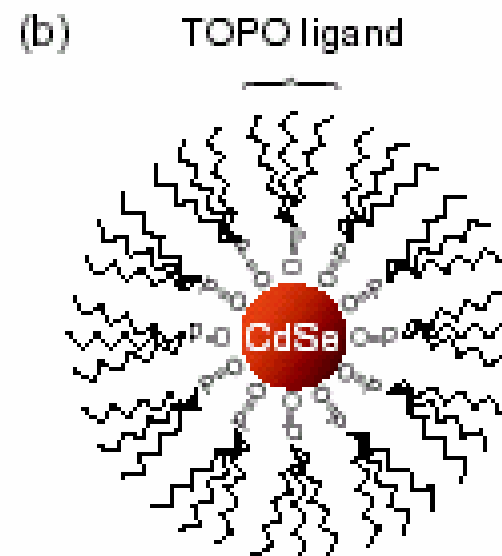
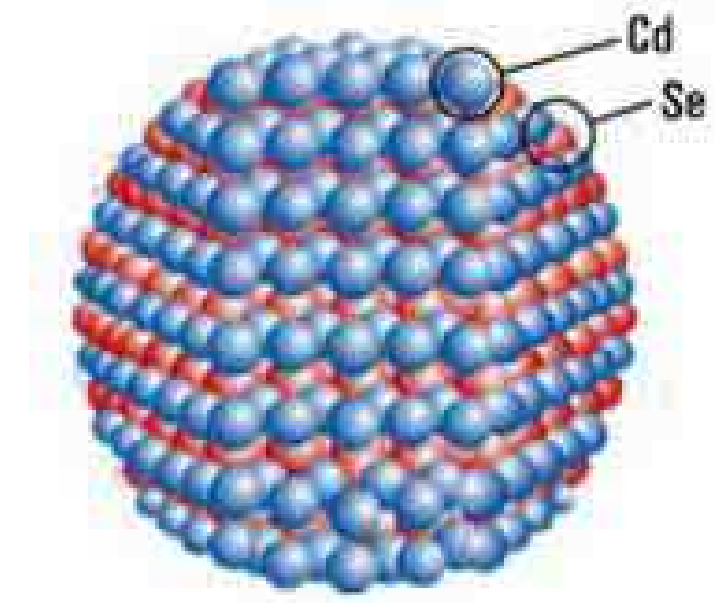
Δg – разность мольных свободных энергий фаз,

v – молярный объем кристалла,  
σ - удельная поверхностная энергия

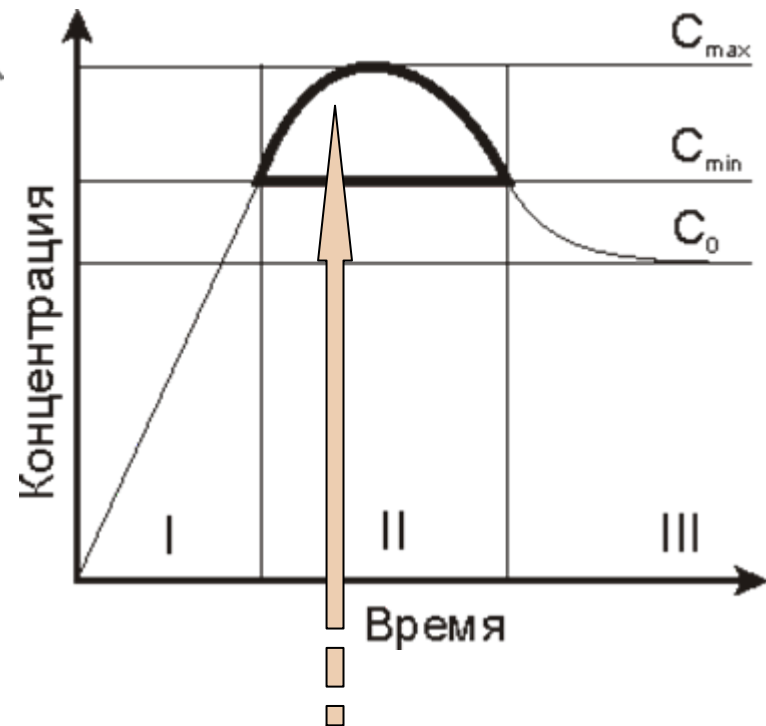
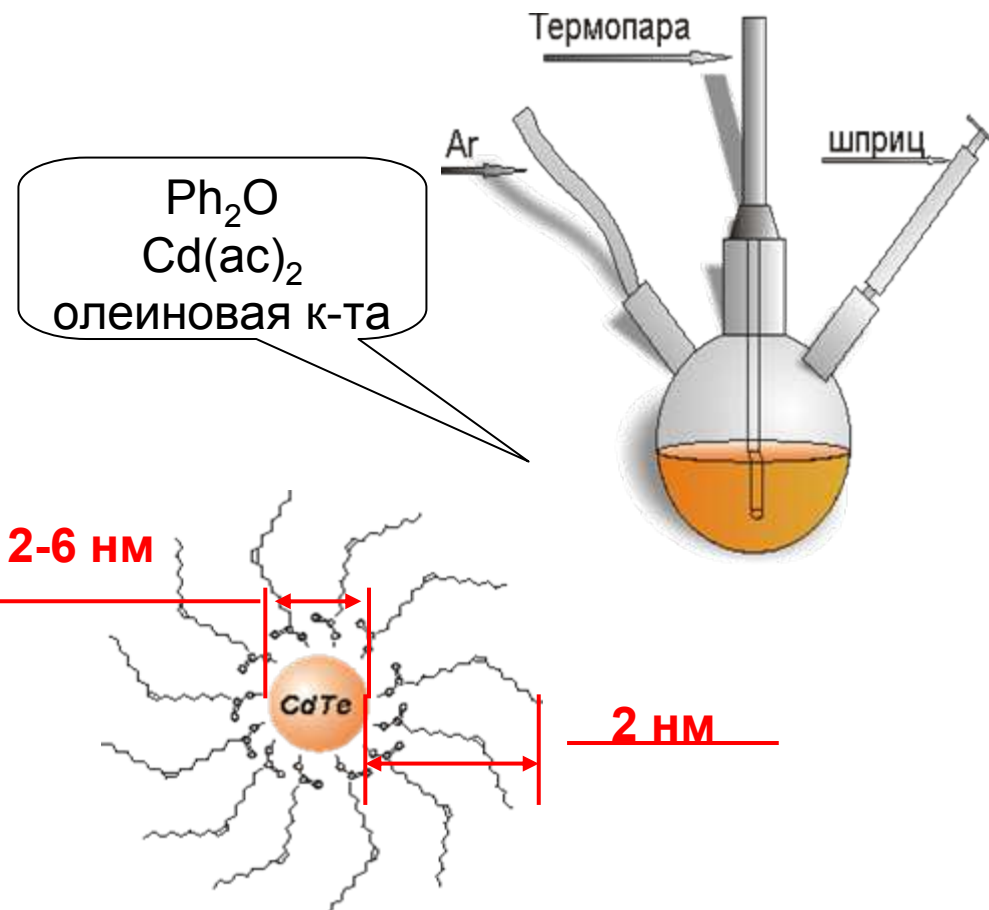
ΔG<sub>n</sub> – энергия образования зародыша,  
r<sub>n</sub><sup>\*</sup> – радиус критического зародыша

# Коллоидные квантовые точки

- Наночастицы полупроводника, покрытые стабилизатором
- Требования к наночастицам
  - узкое распределение по размерам
  - отсутствие агломерации
  - пассивировка оборванных связей на поверхности
- Требования к стабилизатору
  - объемный “хвост”
  - прочная связь с поверхностью
  - сродство к растворителю



# Химический синтез квантовых точек



Синтез наночастиц CdTe в  
режиме пересыщения (II)

- мин. время
- макс. пересыщение
- > монодисперсная система

# Квантовые точки

Обычное освещение

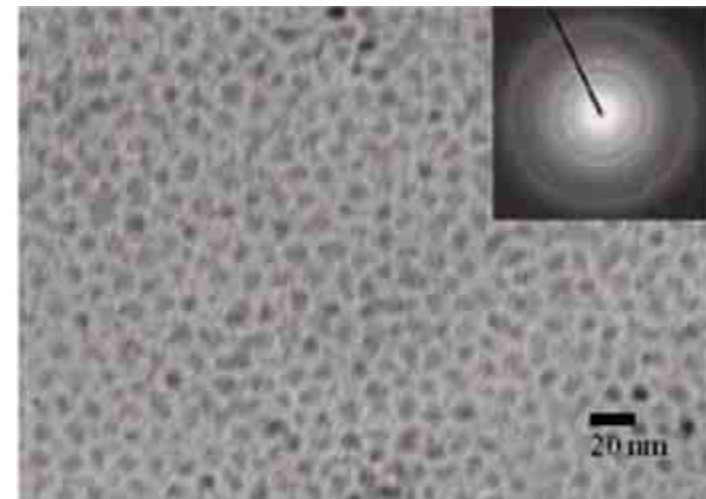
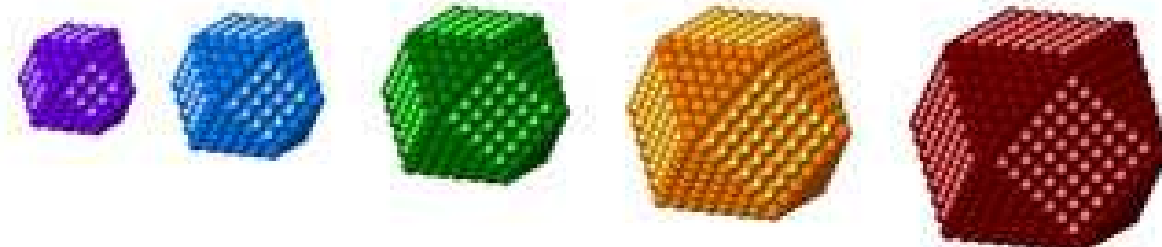
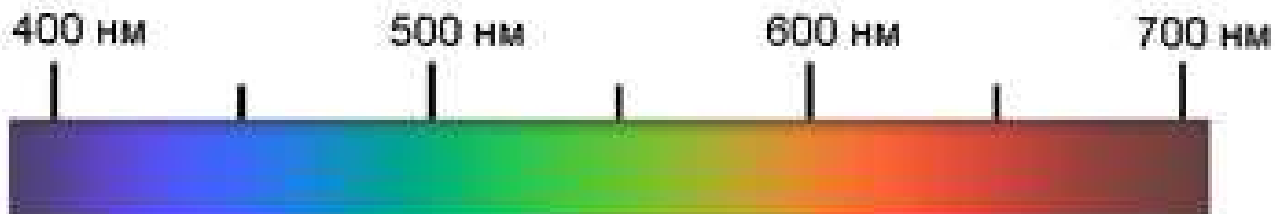


УФ



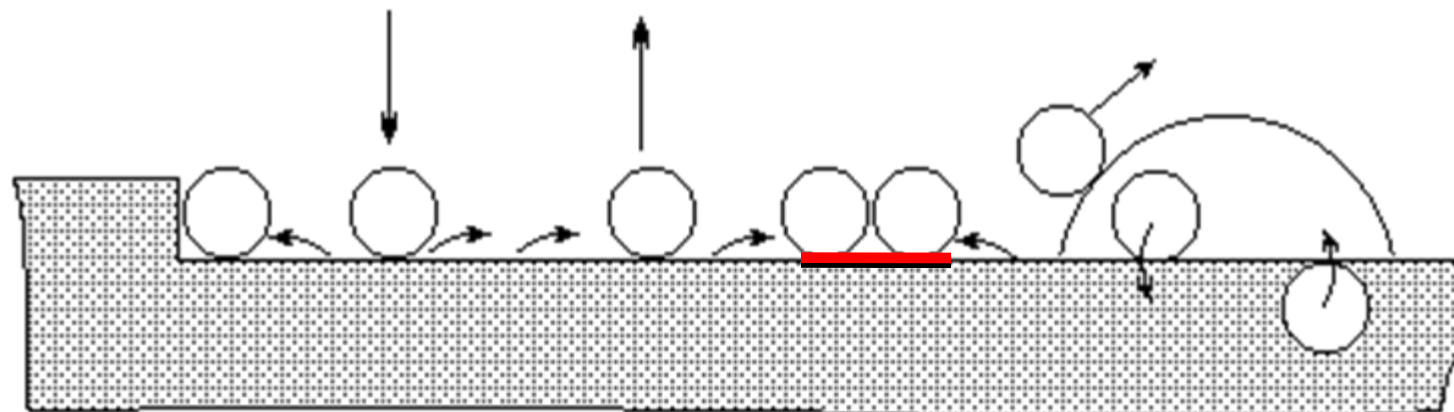
Photo by Roman Vasiliev

13/03/2006



# Гетерогенное зародышеобразование. Осаждение из газовой фазы

Реакция в газовой фазе,  
адсорбция / десорбция



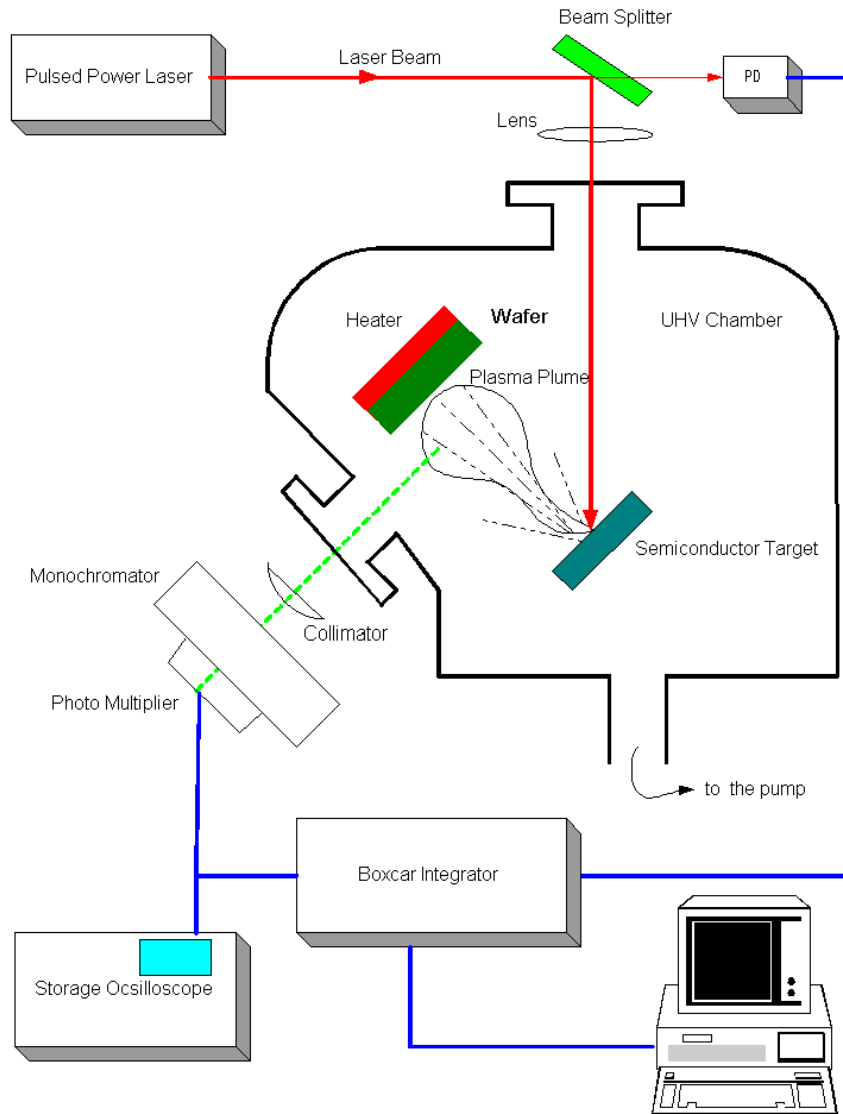
Взаимодей-  
ствии с  
дефектами  
подложки

Поверхност-  
ная диффузия

Химическое  
связывание,  
зародыше-  
образование

Объемная  
диффузия

# Физические методы осаждения



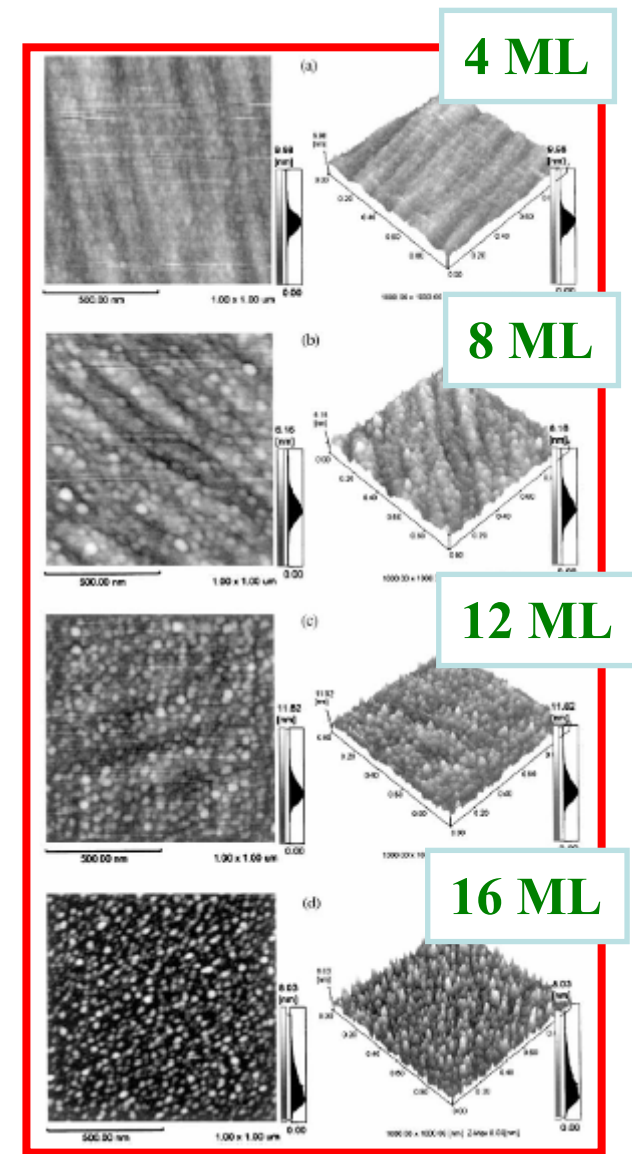
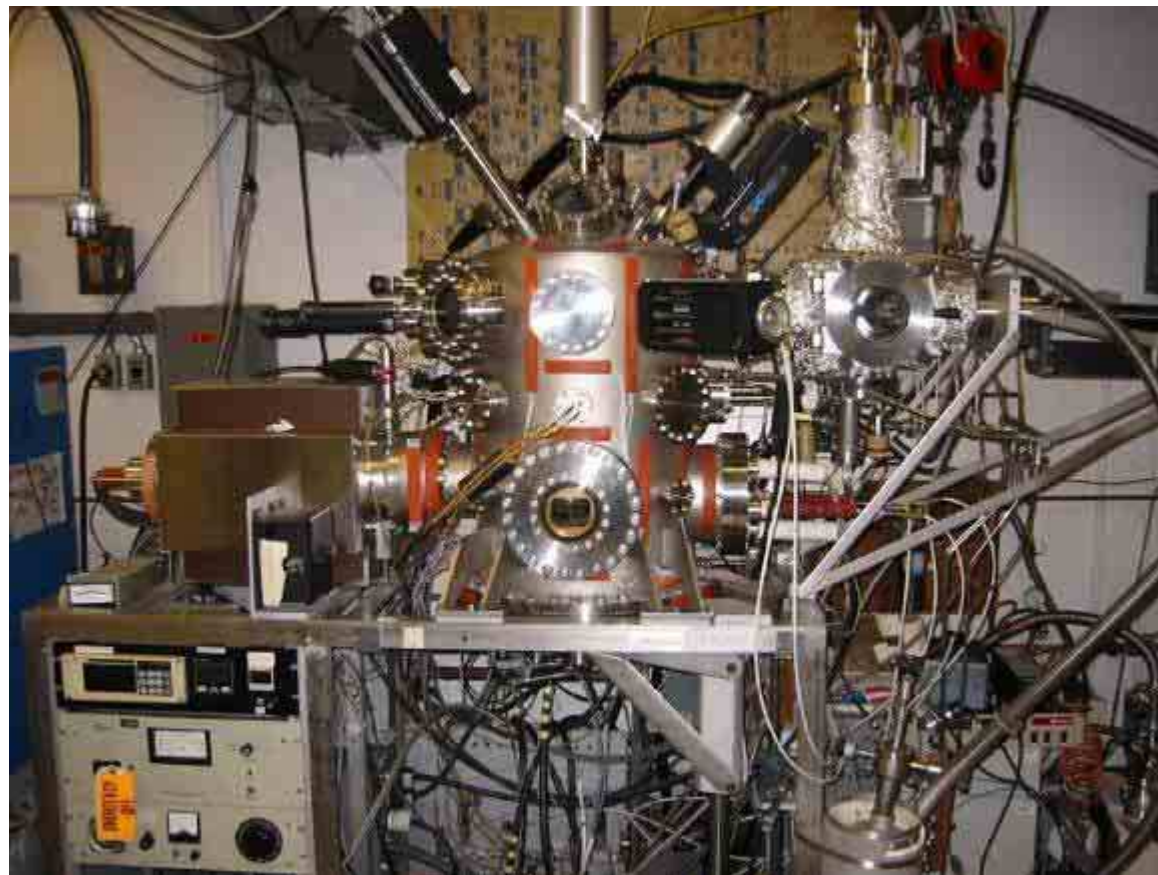
- лазерное напыление
- молекулярные пучки
- магнетронное напыление..

## Требования:

- высокий вакуум
- высокий расход энергии
- сложность и дороговизна оборудования
- высокие пересыщения и (в ряде случаев) плохая ростовая морфология
- ограниченные возможность масштабирования технологии и непрерывного осуществления процесса

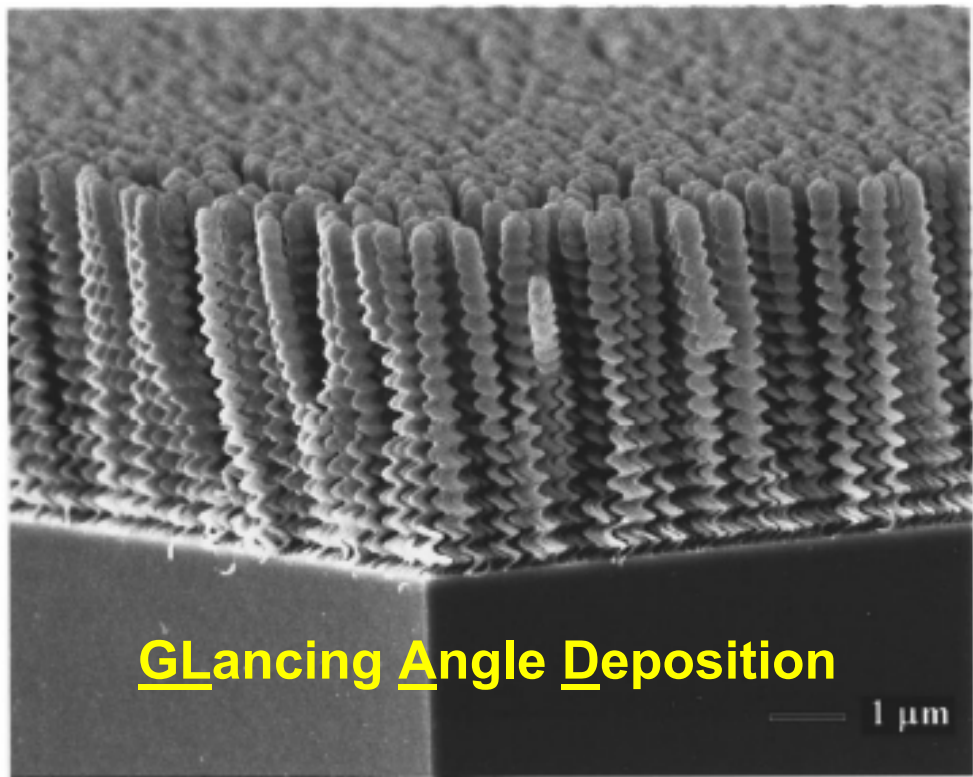
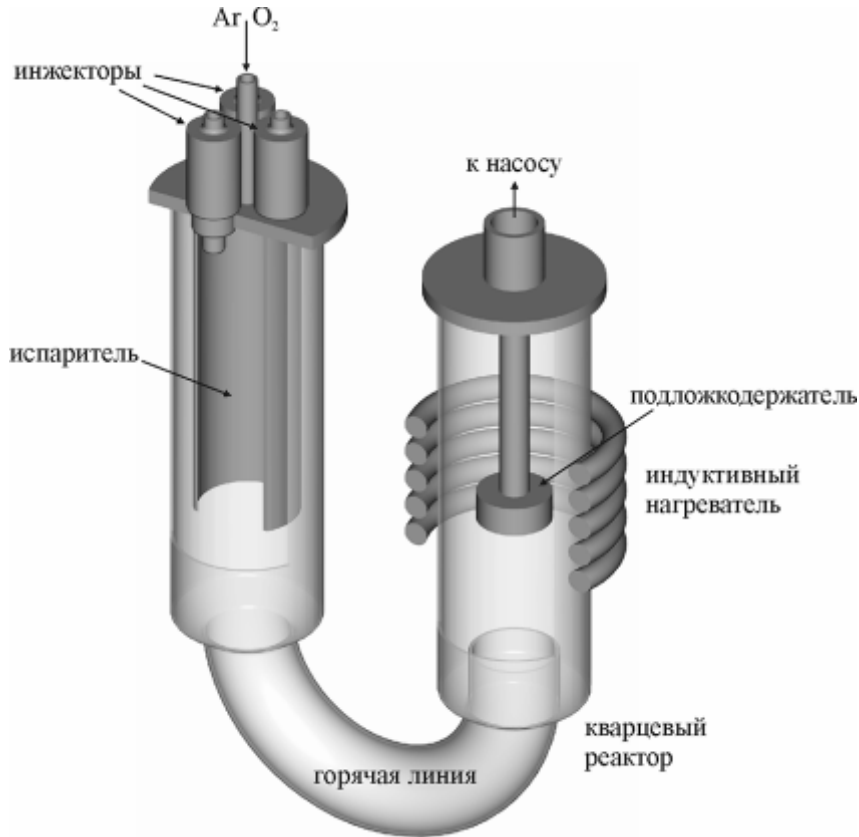
*послойная сборка  
(гетеро)структур, структурный дизайн*

# Физическое оборудование для синтеза наноструктур

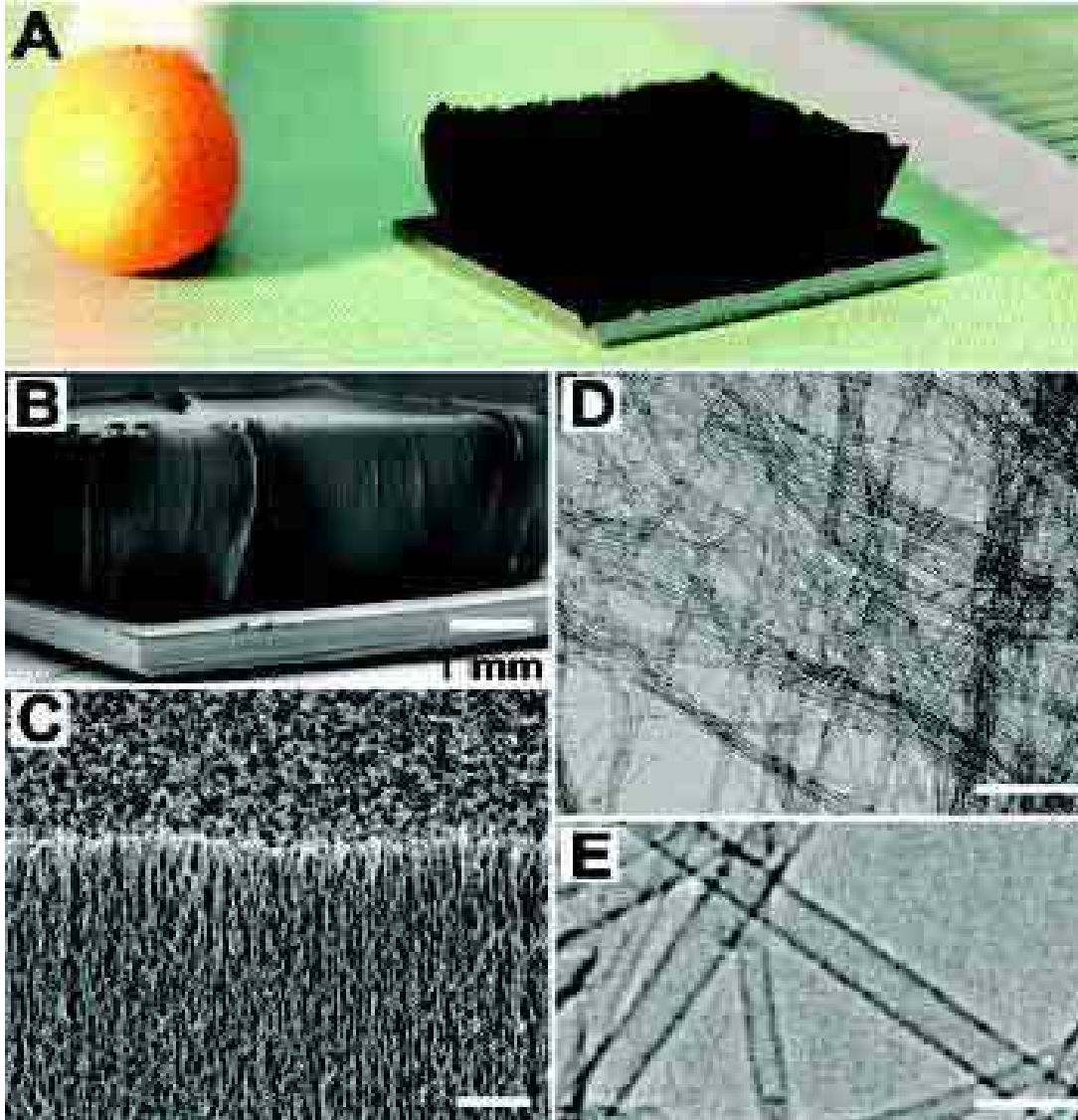


- Молекулярно - лучевая эпитаксия

# Химическое осаждение (CVD)



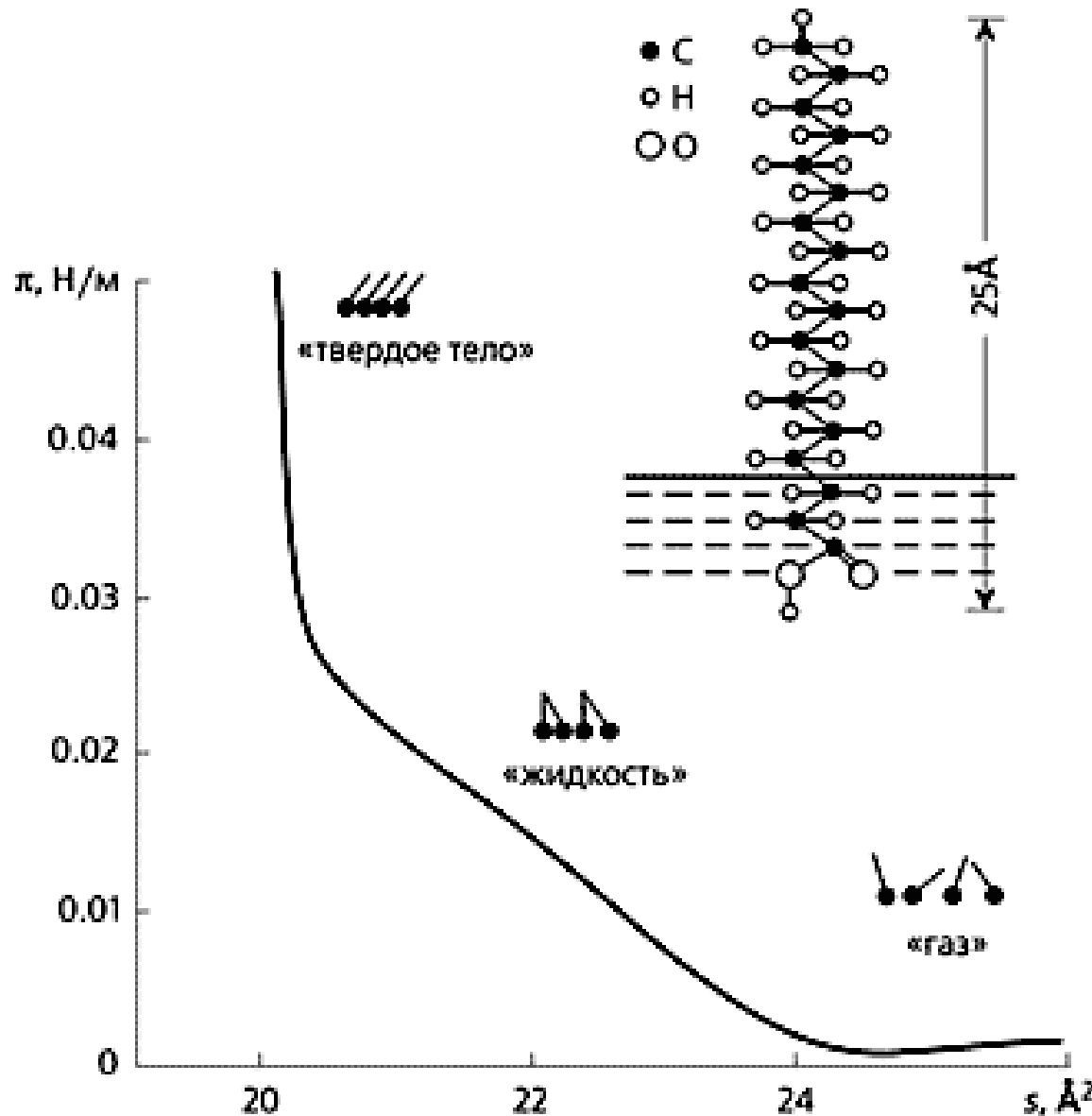
Синтез летучих прекурсоров - Испарение (контроль состава пара)  
– Транспорт (выбор газа-носителя и контроль его распределения  
в реакторе) – Осаждение (контроль  $T$ ,  $pO_2$ ,  $pCO_2$ , скорости осаждения)



Одностенные углеродные нанотрубки (**99.98%**), «водно-ускоряемый» CVD.

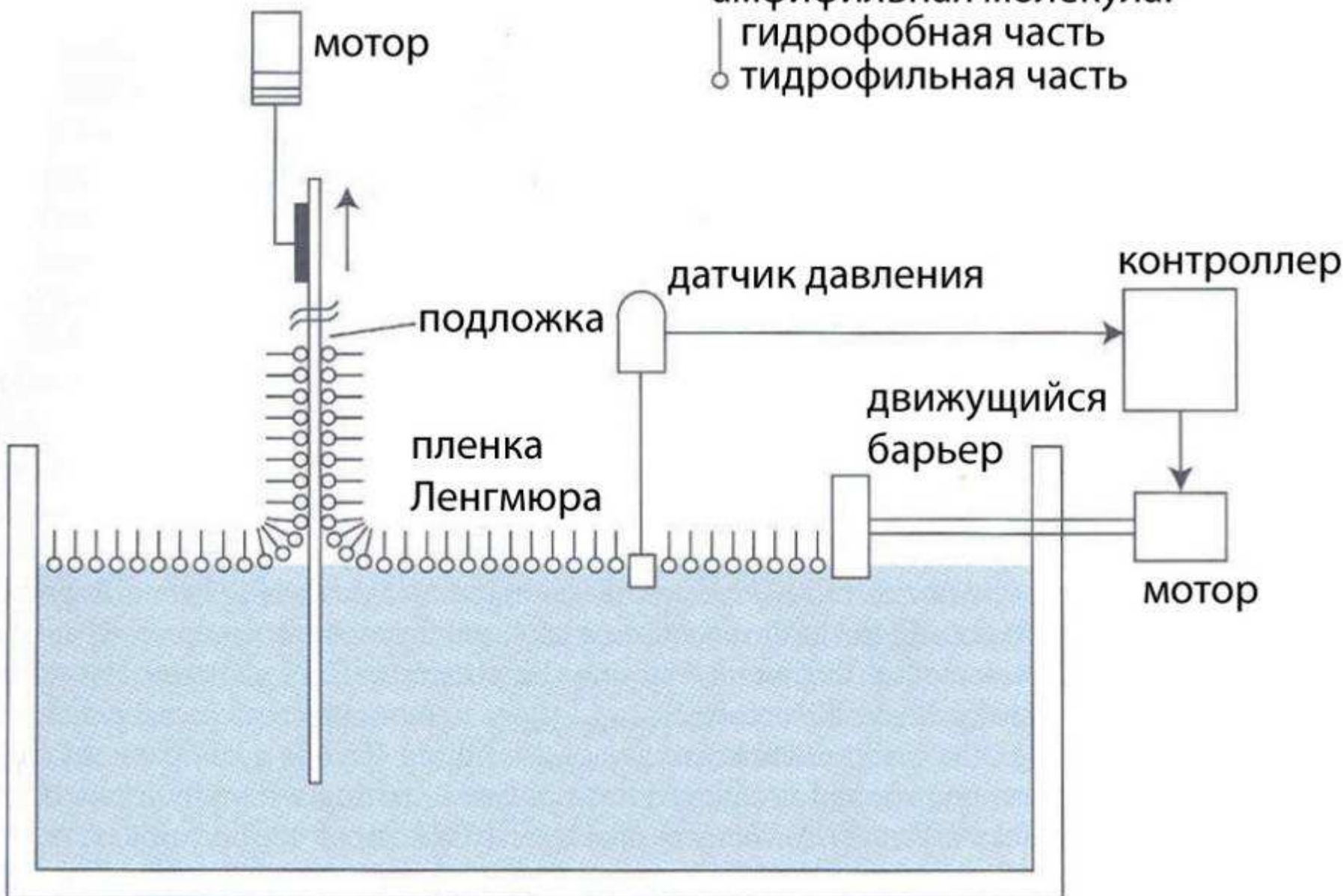
- (A) Вид ОСНТ на 7x7-mm SiO<sub>2</sub> пластине. Слева для сравнения головка спички.
- (B) СЕМ изображение того же леса. Масштаб, 1 мм.
- (C) край ОСНТ леса Масштаб, 1 мм.
- (D) ТЕМ изображение нанотруб. Масштаб, 100 нм.
- (E) ВРЕМ изображение ОСНТ. Масштаб, 5 нм.

# Лэнгмюр-Блоджетт

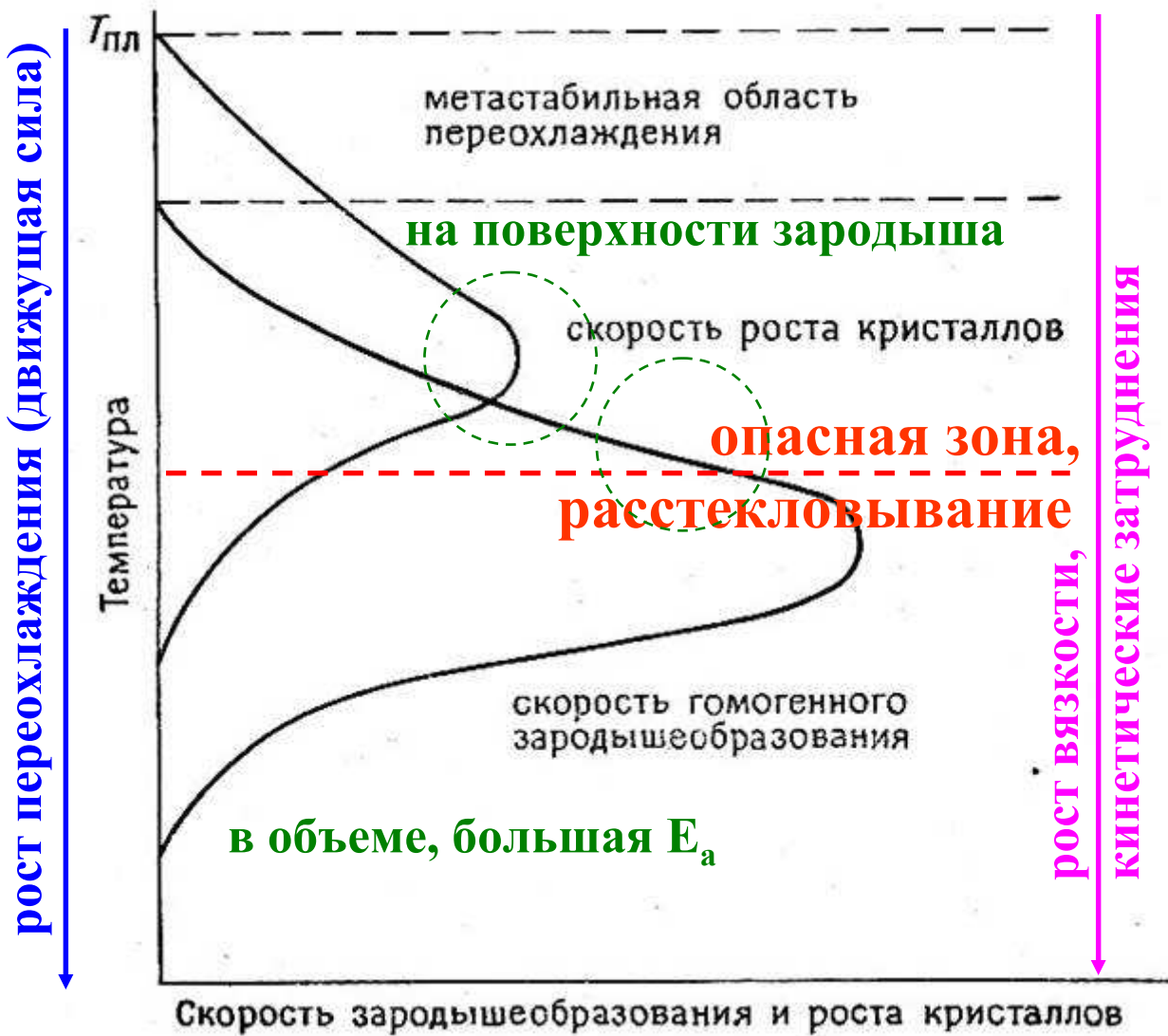


# Лэнгмюр-Блоджетт

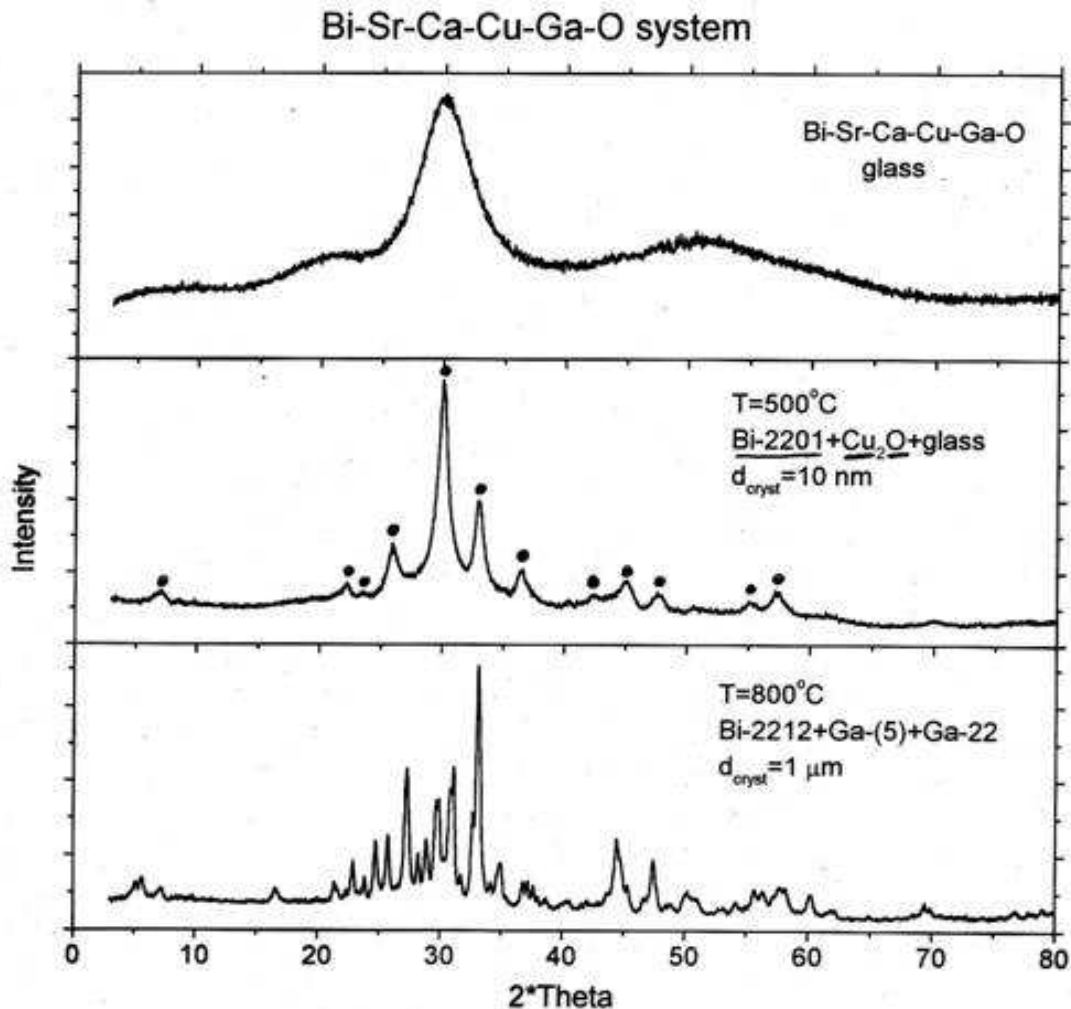
амфифильная молекула:  
гидрофобная часть  
гидрофильная часть



# Кристаллизация в аморфной фазе

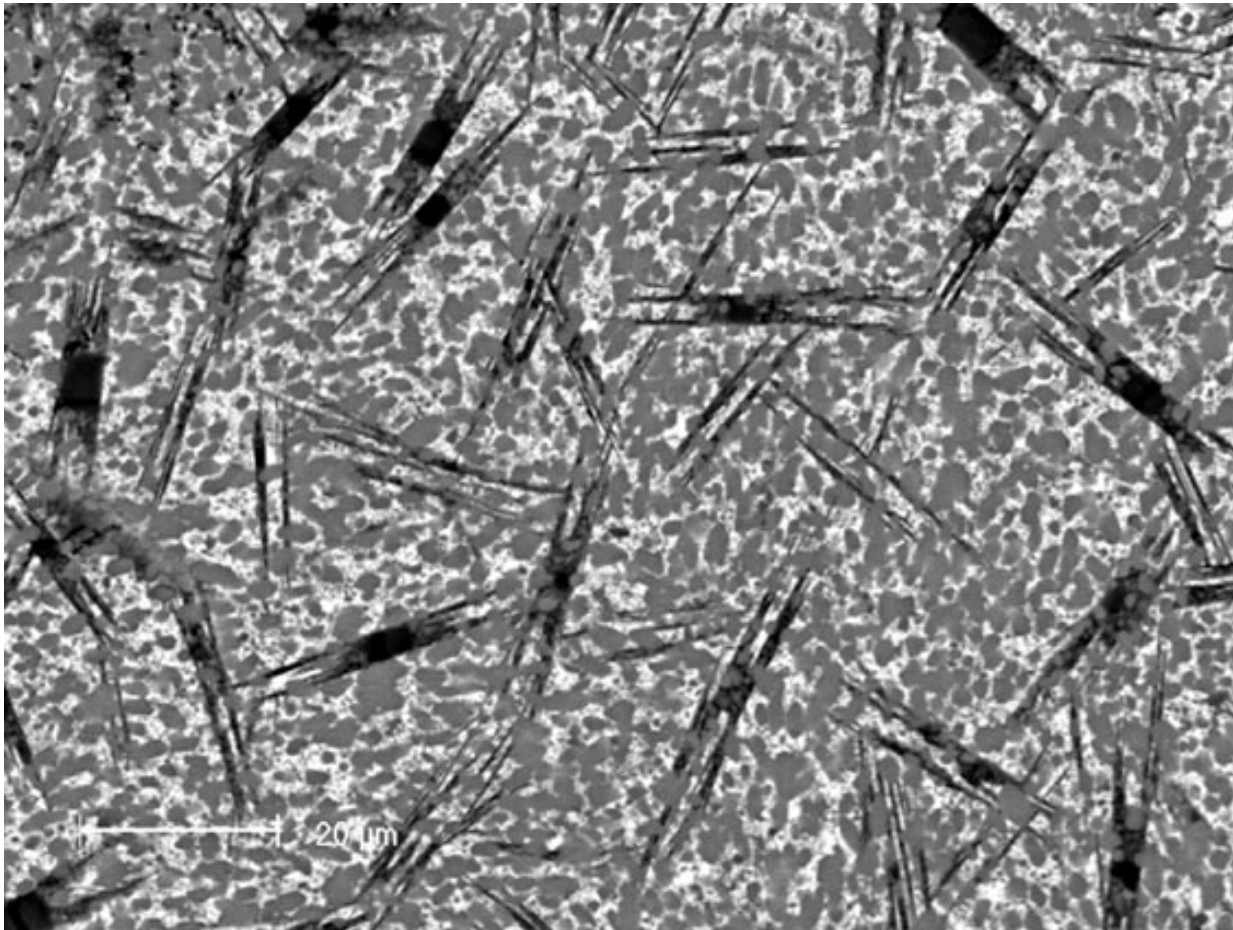


# Стеклообразные прекурсоры



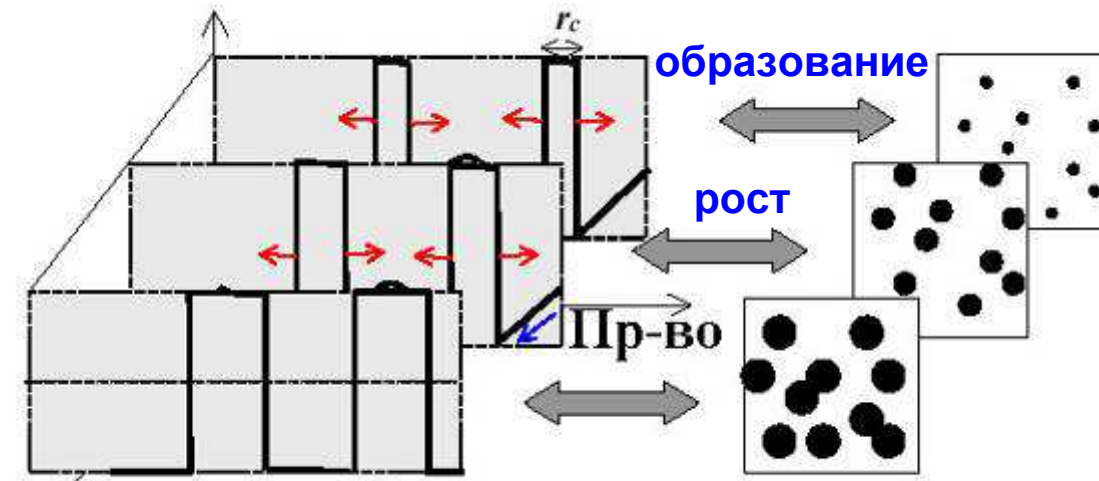
- Формирование высокодисперсных (рентгеноаморфных) частиц реагентов, находящихся в тесном контакте: увеличение **скорости и полноты** превращения,
- Включение **нанодисперсных частиц** в основную матрицу,
- Воспроизведение формы изделия (**литье** в форму),
- Расслаивание стекла и рост нитевидных кристаллов (**вискеры**)

# Магнитные наночастицы

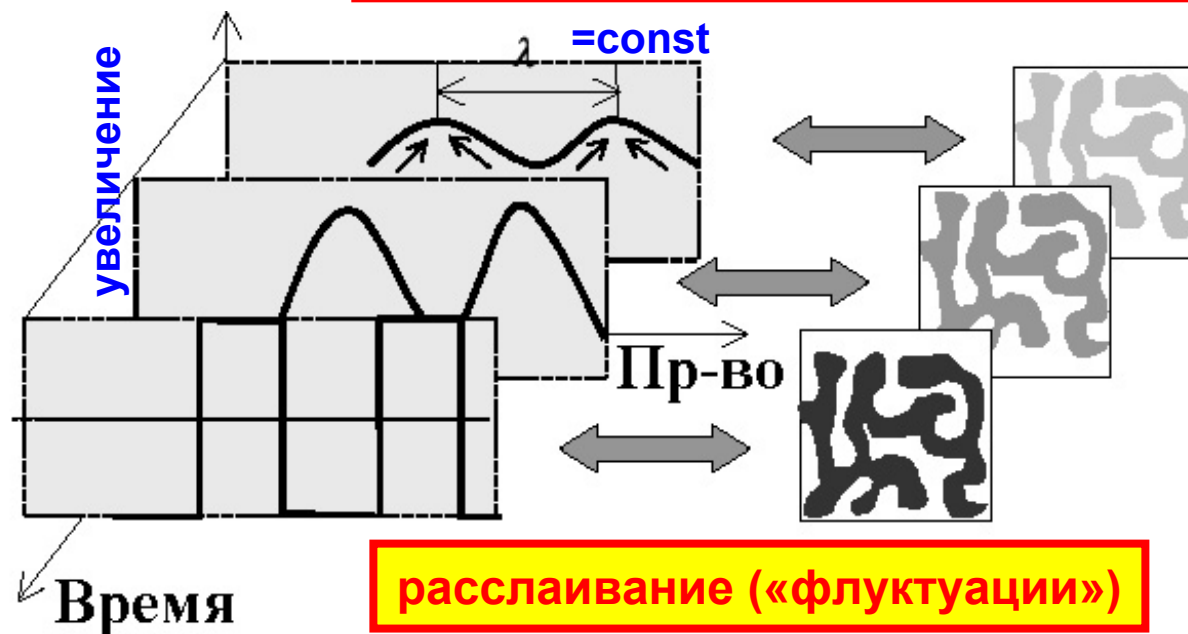


Магнитный субмикрокомпозит на основе гексаферрита стронция. Получен из стекла системы  $\text{SrO}-\text{Fe}_2\text{O}_3-\text{B}_2\text{O}_3-\text{Bi}_2\text{O}_3$  при его термической обработке. Характеризуется высокими значениями коэрцитивной силы, перспективен для изготовления постоянных магнитов.

# Зародышеобразование и расслаивание

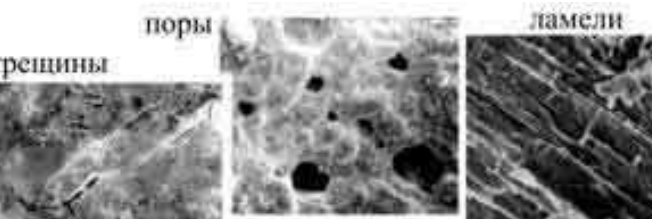


зародышеобразование («капли»)



расслаивание («флуктуации»)

Механические  
свойства



Сверхпроводящее  
изделие



Керамика

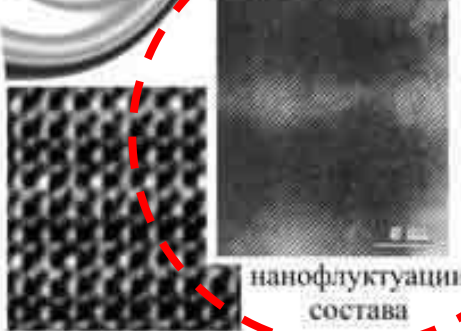


Фундаментальные  
физические свойства  
(химический и фазовый  
состав)  $T_c$

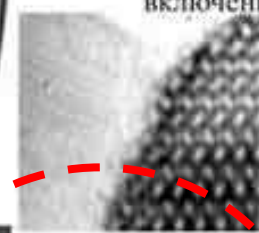


элементарная  
ячейка

атомные  
ряды

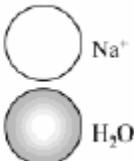
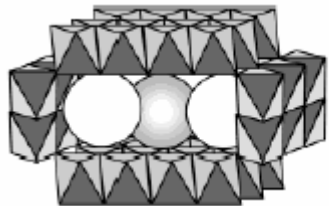


нанофлуктуации  
состава



Величина  
критического  
тока  $J_c$

Наноуровень  
структурь  
определяет  
интенсивность  
магнитной  
левитации –  
важнейшего  
функционального  
свойства



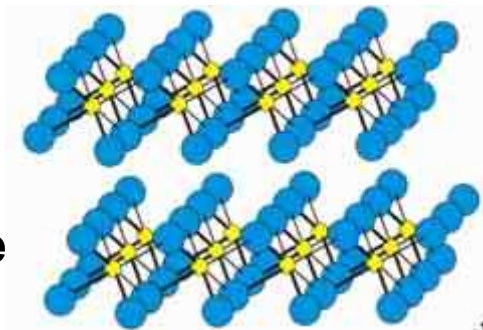
ПЖК

Каркасные мanganиты

Наноструктурированные  
ион-проводящие композиты  
Катализаторы  
Сорбенты



Соосаждение  
Ионный обмен



Слоистые двойные  
гидроксиды Mg / Al

Люминесцентные  
материалы  
Магнитные  
нанокомпозиты

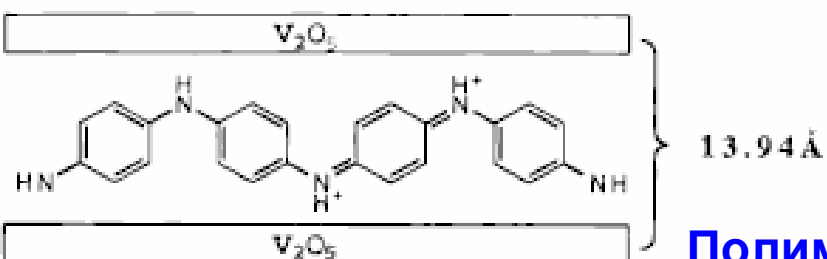
Молекулярный  
темплат

ПАВ

Ксерогели  $\text{V}_2\text{O}_5$

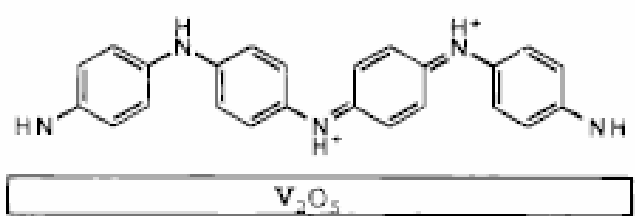
Гибридные  
материалы

Нанотрубки



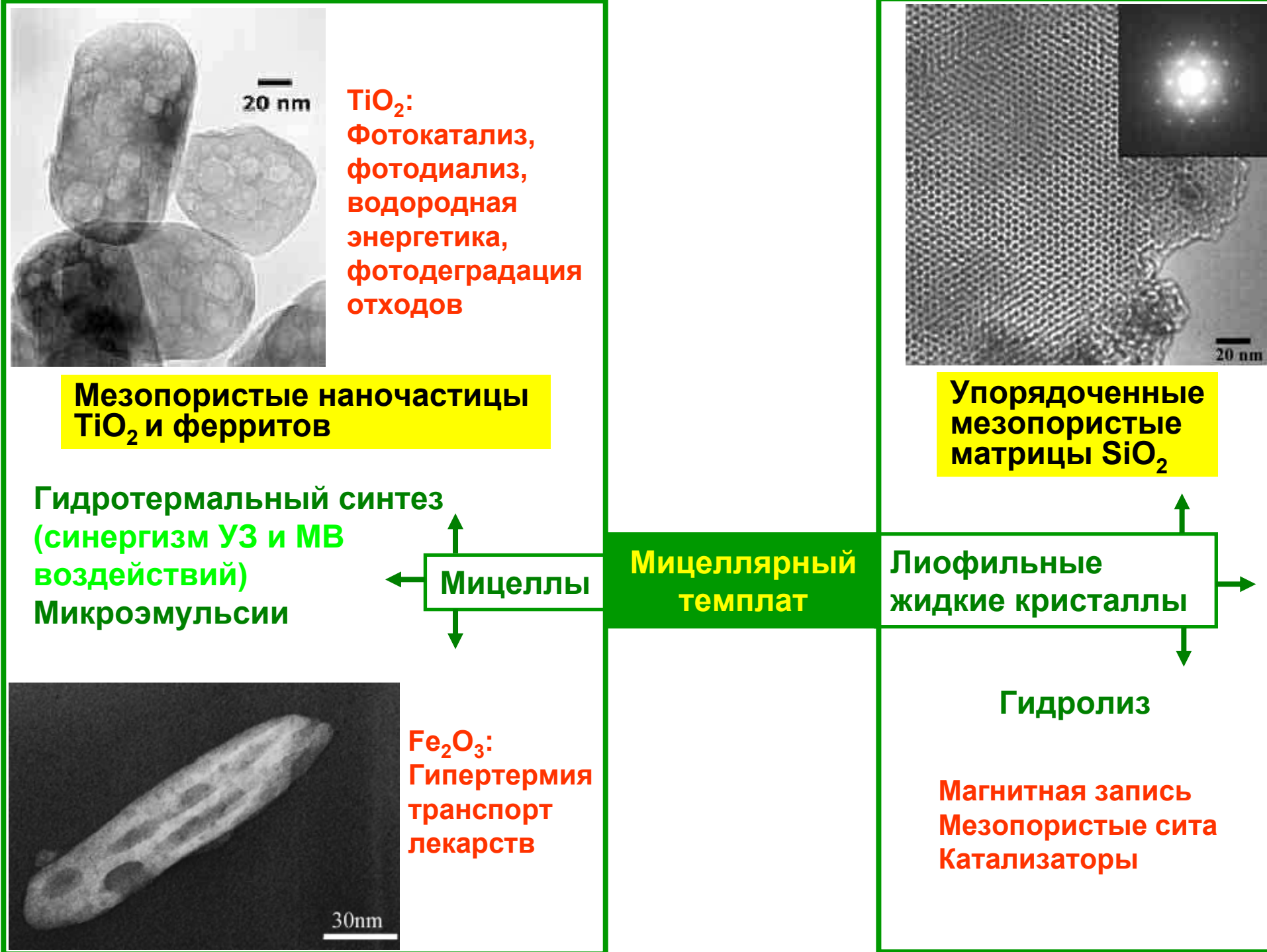
Полимеризация  
Лиофильные ЖК

Гидротермальный  
синтез



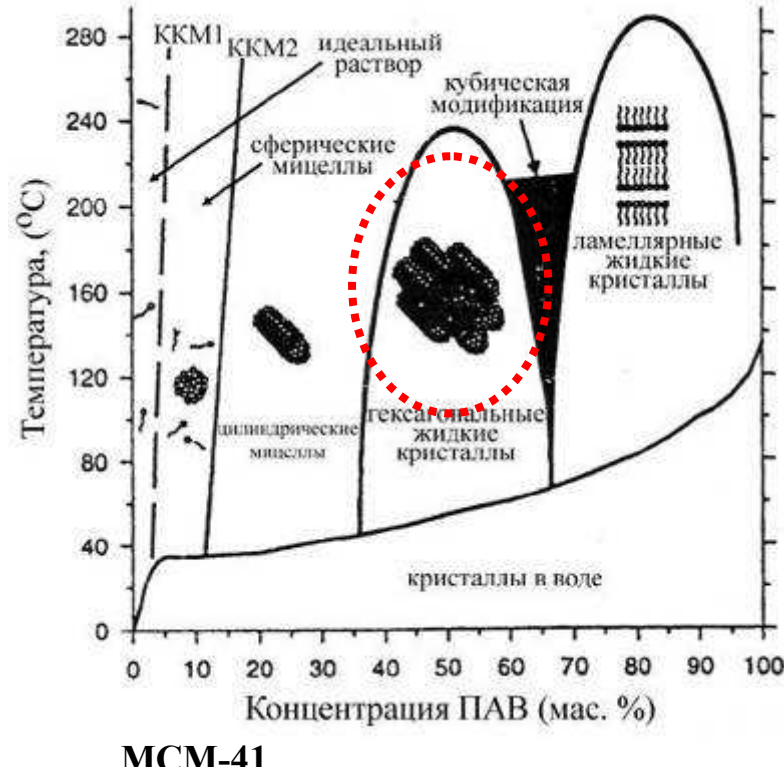
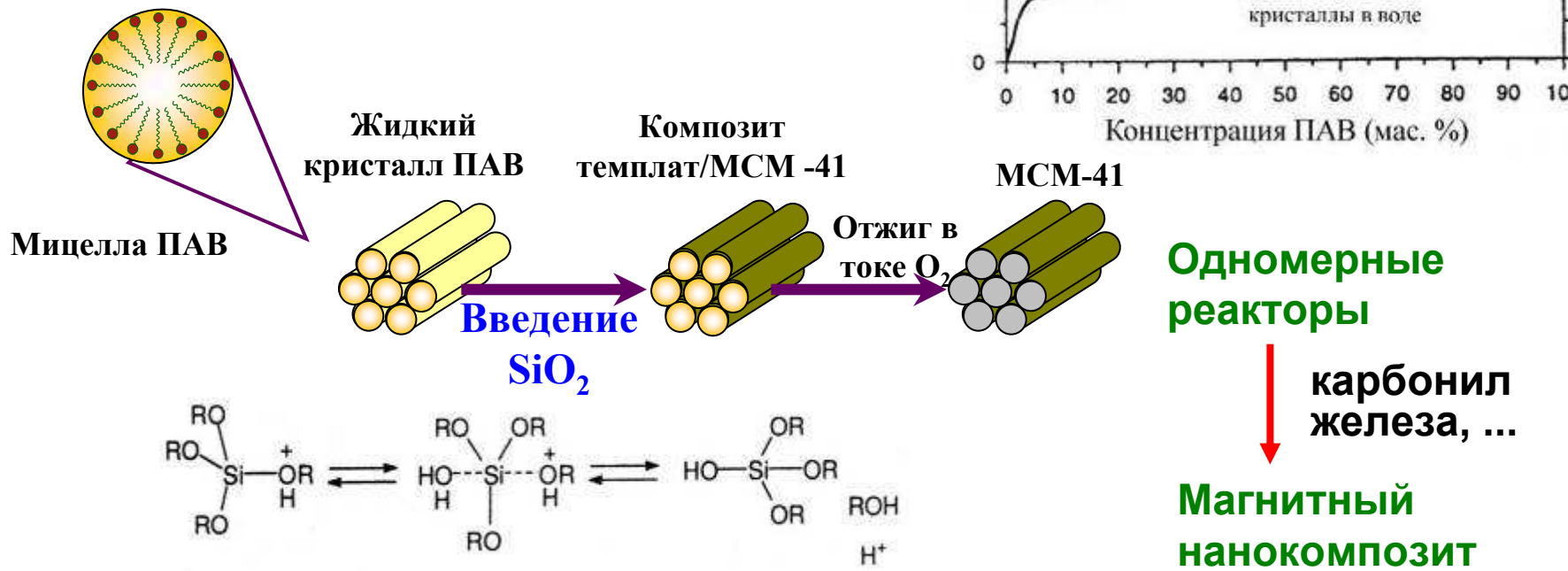
Катодные материалы  
Сенсоры



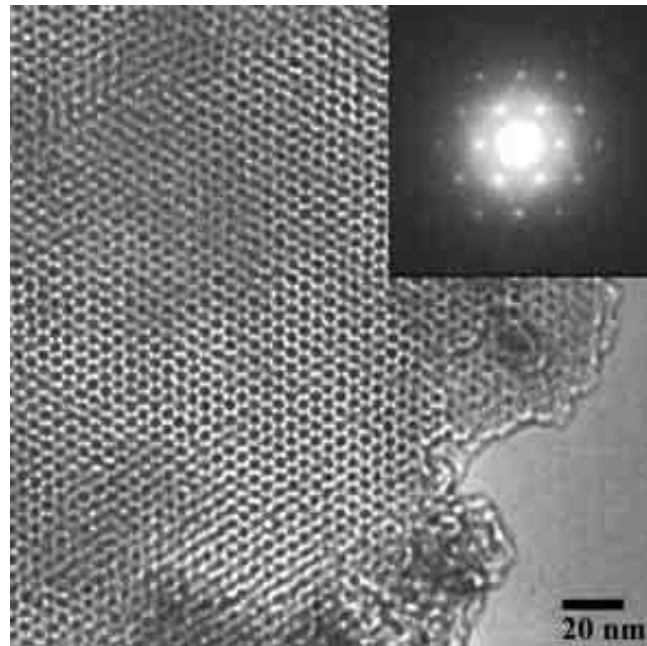


# Мезопористые оксиды

- Варьируемый размер пор (1-10 нм)
- Однородность распределения пор по размеру
- Упорядоченность пор
- Создание анизотропных систем
- Изолированность каналов-пор
- Решение проблемы агрегации и химической изоляции наночастиц

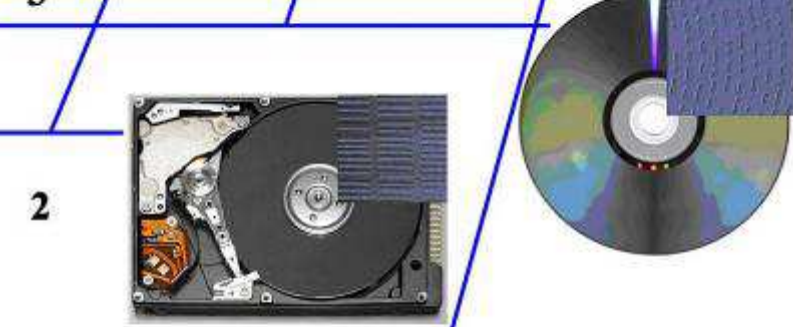
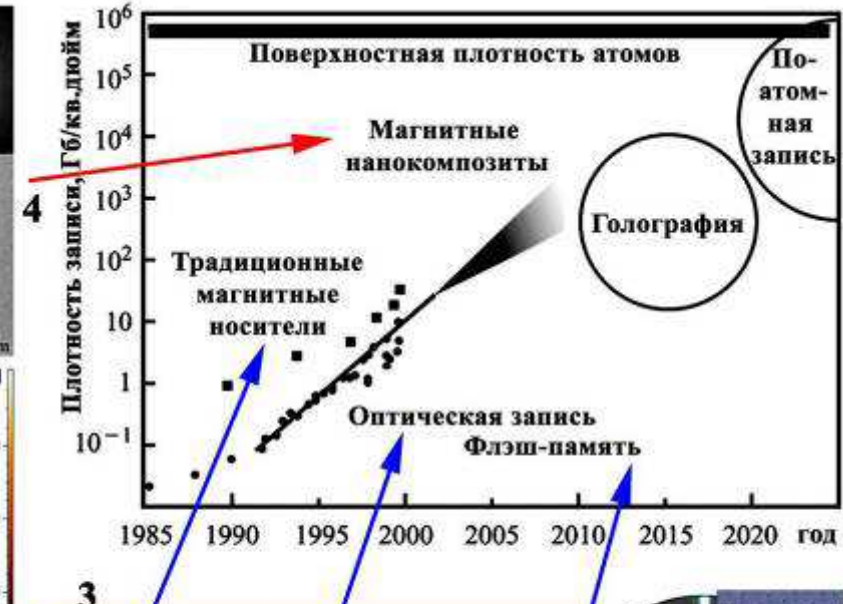
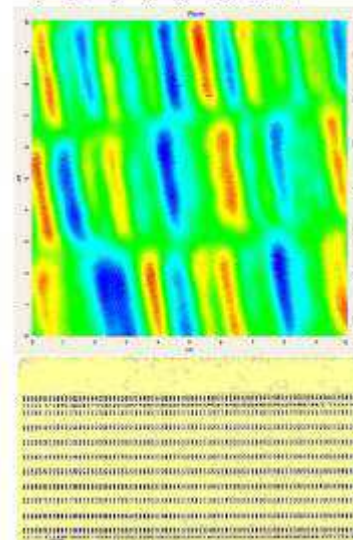
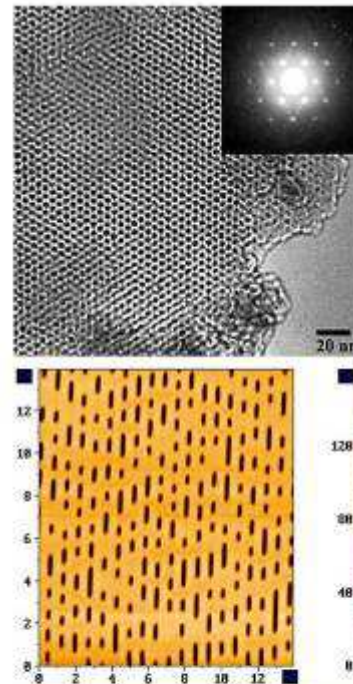


# Запись информации

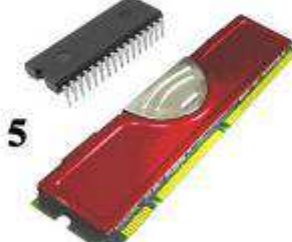


Нанопроволока Fe в мезопористом  $\text{SiO}_2$

Сверхвысокая плотность записи информации  
(1-10 Тбит/кв.дюйм)

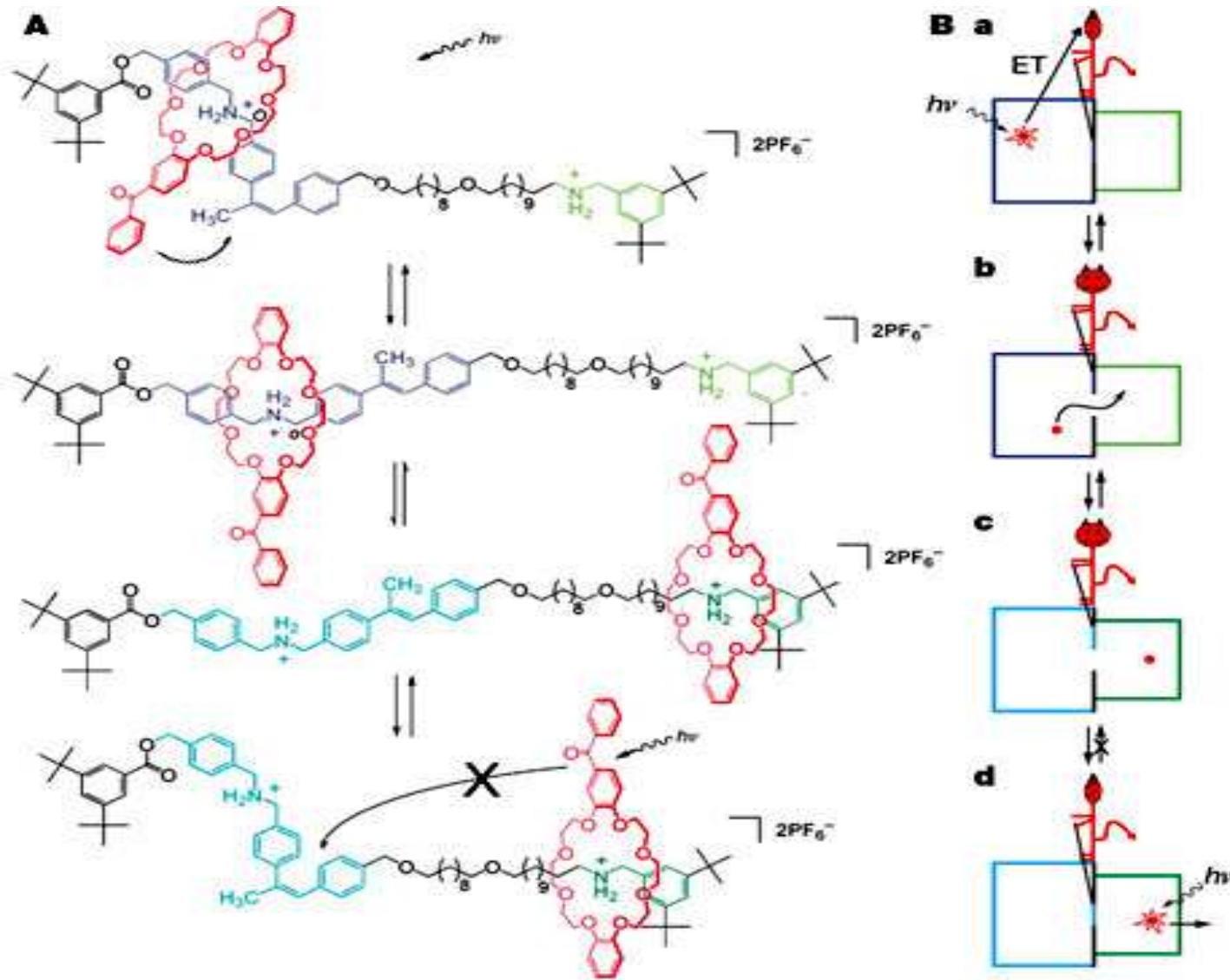


1



5

# Вместо заключения: фотопробежка ротаксана



# Благодарности

В лекции использованы результаты работ, выполненных на факультете наук о материалах и ФНМ МГУ (А.А.Елисеев, А.В.Лукашин, Р.Б.Васильев, Д.М.Иткис, А.В.Григорьева, А.Е.Чеканова, К.С.Напольский, Д.А.Семененко), Weizmann Institute (Проф. Р.Тенне, Израиль), Rice University (США, А.С.Синицкий), <http://www.mems.sandia.gov> и др.